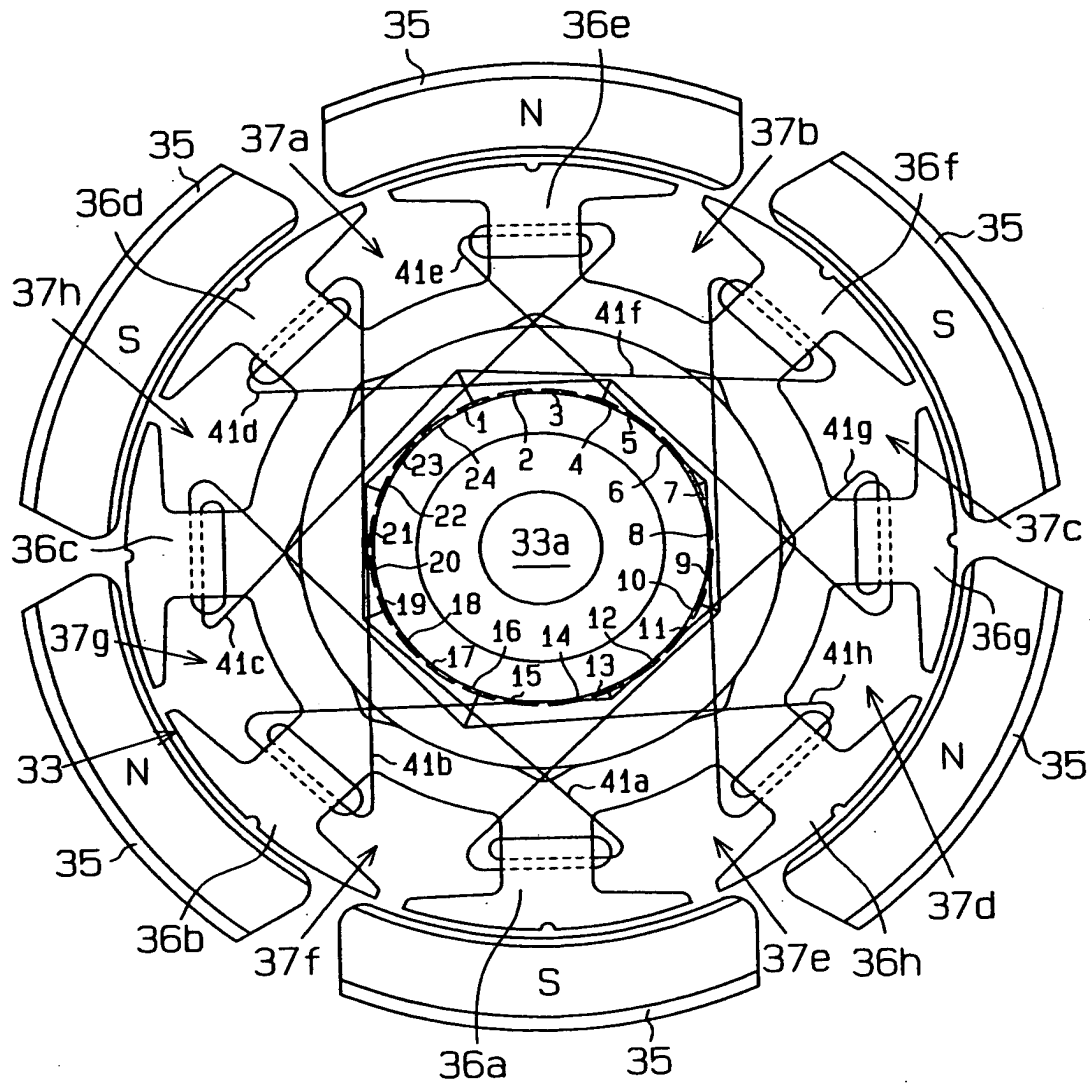


Fig.3



202209220004

Fig5 (a)

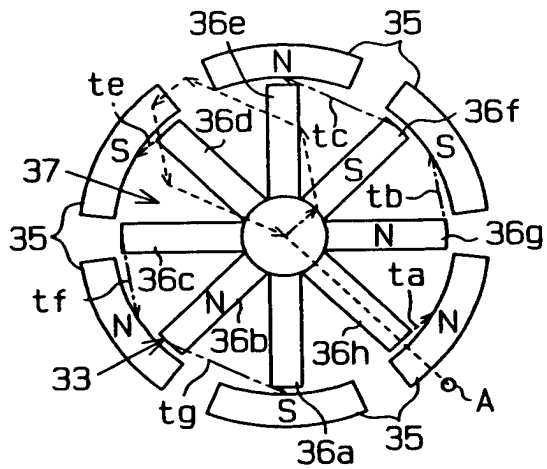


Fig5 (d)

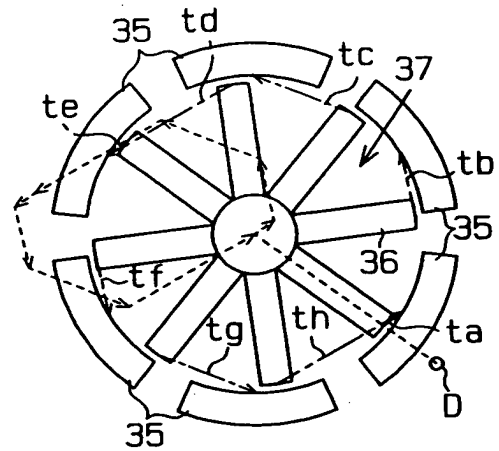


Fig. 5 (b)

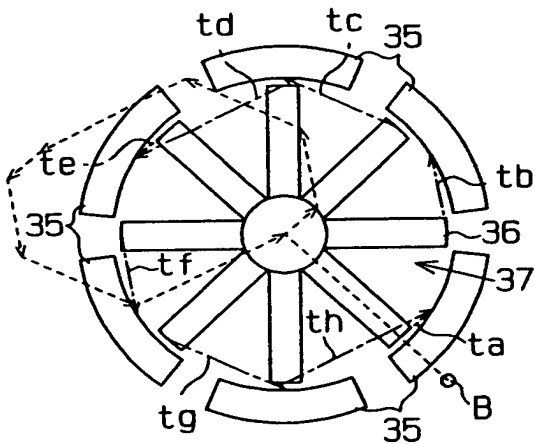


Fig5 (e)

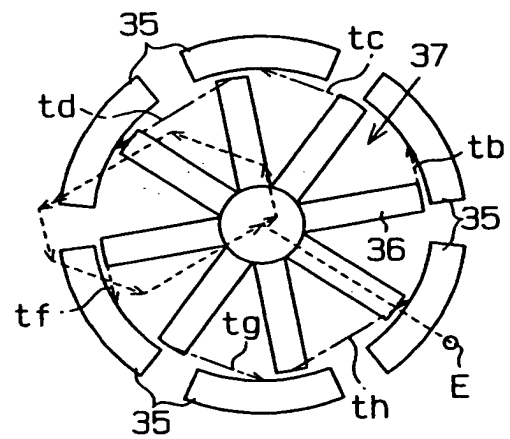


Fig.5 (c)

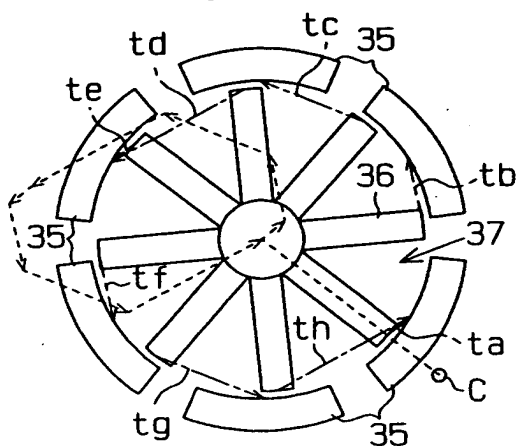


Fig5 (f)

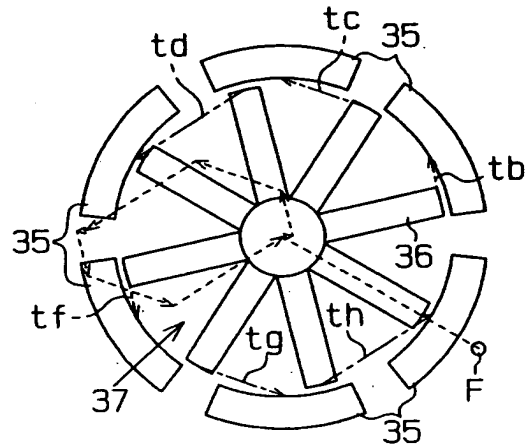
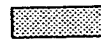


Fig.6

		n							
		3	4	5	6	7	8	9	10
2m	2 K	0.866	0.707	0.588	0.500	0.434	0.383	0.342	0.309
	2 TF	0.866	0.000	0.363	0.000	0.241	0.000	0.182	0.000
	2 NF	0.500	0.000	1.118	0.000	0.945	0.000	1.032	0.000
	2 H	6	4	10	6	14	8	18	10
	4 K	0.866		0.951	0.866	0.782	0.707	0.643	0.588
	4 TF	0.866		1.176	0.000	0.386	0.000	0.446	0.000
	4 NF	0.500		0.000	0.000	1.247	0.000	1.347	0.000
	4 H	12		20	12	28	8	36	20
	6 K		0.707	0.951		0.975	0.924	0.866	0.809
	6 TF		0.000	1.176		1.564	0.000	0.000	0.000
	6 NF		0.000	0.000		0.445	0.000	0.000	0.000
	6 H		12	30		42	24	18	30
	8 K			0.588	0.866	0.975		0.985	0.951
	8 TF			0.363	0.000	1.564		1.970	0.000
	8 NF			1.118	0.000	0.445		0.879	0.000
	8 H			40	24	56		72	40
	10 K				0.500	0.782	0.924	0.965	
	10 TF				0.000	0.386	0.000	1.970	
	10 NF				0.000	1.247	0.000	0.879	
	10 H				30	70	40	90	
	12 K					0.434	0.707	0.866	0.951
	12 TF					0.241	0.000	0.000	0.000
	12 NF					0.945	0.000	0.000	0.000
	12 H					84	24	36	60
	14 K	0.866					0.383	0.643	0.809
	14 TF	0.866					0.000	0.446	0.000
	14 NF	0.500					0.000	1.347	0.000
	14 H	42					56	126	70
	16 K	0.866						0.342	0.588
	16 TF	0.866						0.182	0.000
	16 NF	0.500						1.032	0.000
	16 H	48						144	80
	18 K		0.707						0.309
	18 TF		0.000						0.000
	18 NF		0.000						0.000
	18 H		36						90
	20 K								
	20 TF								
	20 NF								
	20 H								
	22 K		0.707	0.588					
	22 TF		0.000	0.363					
	22 NF		0.000	1.118					
	22 H		44	110					
	24 K			0.951					
	24 TF			1.176					
	24 NF			0.000					
	24 H			120					



Radial Force
Exists



Nonfunctioning
as Motor

Fig.7

			n							
			11	12	13	14	15	16	17	18
2m	2	K	0.282	0.259	0.239	0.223	0.208	0.195	0.184	0.174
	2	TF	0.147	0.000	0.123	0.000	0.106	0.000	0.093	0.000
	2	NF	0.979	0.000	1.015	0.000	0.989	0.000	1.009	0.000
	2	H	22	12	26	14	30	16	34	18
	4	K	0.541	0.500	0.465	0.434	0.407	0.383	0.361	0.342
	4	TF	0.256	0.000	0.281	0.000	0.192	0.000	0.206	0.000
	4	NF	0.831	0.000	0.788	0.000	1.129	0.000	1.153	0.000
	4	H	44	12	52	28	60	16	68	36
	6	K	0.756	0.707	0.663	0.623	0.588	0.556	0.526	0.500
	6	TF	0.518	0.000	0.594	0.000	0.000	0.000	0.342	0.000
	6	NF	1.440	0.000	1.530	0.000	0.000	0.000	0.708	0.000
	6	H	66	12	78	42	30	48	102	18
	8	K	0.910	0.866	0.823	0.782	0.743	0.707	0.674	0.643
	8	TF	0.175	0.000	0.139	0.000	0.673	0.000	0.753	0.000
	8	NF	1.073	0.000	0.950	0.000	1.618	0.000	1.705	0.000
	8	H	88	24	104	56	120	16	136	72
	10	K	0.990	0.966	0.935	0.901	0.866	0.831	0.798	0.766
	10	TF	2.383	0.000	0.181	0.000	0.000	0.000	0.146	0.000
	10	NF	1.310	0.000	1.103	0.000	0.000	0.000	0.912	0.000
	10	H	110	60	130	70	30	80	170	90
	12	K	0.990		0.993	0.975	0.951	0.924	0.895	0.866
	12	TF	2.383		2.799	0.000	0.000	0.000	0.100	0.000
	12	NF	1.310		1.738	0.000	0.000	0.000	0.972	0.000
	12	H	132		156	84	60	48	204	36
	14	K	0.910	0.966	0.993		0.995	0.981	0.962	0.940
	14	TF	0.175	0.000	2.799		3.218	0.000	0.116	0.000
	14	NF	1.073	0.000	1.738		2.165	0.000	1.052	0.000
	14	H	154	84	182		210	112	238	126
	16	K	0.756	0.866	0.935	0.975	0.995		0.996	0.985
	16	TF	0.518	0.000	0.181	0.000	3.218		3.639	0.000
	16	NF	1.440	0.000	1.103	0.000	2.165		2.592	0.000
	16	H	176	48	208	112	240		272	144
	18	K	0.541	0.707	0.823	0.901	0.951	0.981	0.996	
	18	TF	0.256	0.000	0.139	0.000	0.000	0.000	3.639	
	18	NF	0.831	0.000	0.950	0.000	0.000	0.000	2.592	
	18	H	198	36	234	126	90	144	306	
	20	K	0.282	0.500	0.663	0.782	0.866	0.924	0.962	0.985
	20	TF	0.147	0.000	0.594	0.000	0.000	0.000	0.116	0.000
	20	NF	0.979	0.000	1.530	0.000	0.000	0.000	1.052	0.000
	20	H	220	60	260	140	60	80	340	180
	22	K		0.259	0.465	0.623	0.743	0.831	0.895	0.940
	22	TF		0.000	0.281	0.000	0.673	0.000	0.100	0.000
	22	NF		0.000	0.788	0.000	1.618	0.000	0.972	0.000
	22	H		132	286	154	330	176	374	198
	24	K			0.239	0.434	0.588	0.707	0.798	0.866
	24	TF			1.123	0.000	0.000	0.000	0.146	0.000
	24	NF			1.015	0.000	0.000	0.000	0.912	0.000
	24	H			312	168	120	48	408	72



Radial Force
Exists



Nonfunctioning
as Motor

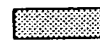
10087036 022002

Fig.8

			n						
			19	20	21	22	23	24	25
2m	2	K	0.165	0.156	0.149	0.142	0.136	0.131	0.125
	2	TF	0.083	0.000	0.075	0.000	0.069	0.000	0.063
	2	NF	0.993	0.000	1.006	0.000	0.995	0.000	1.004
	2	H	38	20	42	22	46	24	50
	4	K	0.325	0.309	0.295	0.282	0.270	0.259	0.249
	4	TF	0.154	0.000	0.163	0.000	0.129	0.000	0.135
	4	NF	0.895	0.000	0.880	0.000	1.088	0.000	1.099
	4	H	76	20	84	44	92	24	100
	6	K	0.476	0.454	0.434	0.415	0.398	0.383	0.368
	6	TF	0.375	0.000	0.000	0.000	0.257	0.000	0.275
	6	NF	0.669	0.000	0.000	0.000	1.220	0.000	1.241
	6	H	114	60	42	66	138	24	150
	8	K	0.614	0.588	0.563	0.541	0.520	0.500	0.482
	8	TF	0.099	0.000	0.087	0.000	0.442	0.000	0.476
	8	NF	0.960	0.000	1.032	0.000	0.594	0.000	0.556
	8	H	152	40	168	88	184	24	200
	10	K	0.736	0.707	0.680	0.655	0.631	0.609	0.588
	10	TF	0.835	0.000	0.917	0.000	0.103	0.000	0.000
	10	NF	1.792	0.000	1.878	0.000	0.941	0.000	0.000
	10	H	190	20	210	110	230	120	50
	12	K	0.837	0.809	0.782	0.756	0.731	0.707	0.685
	12	TF	0.088	0.000	0.000	0.000	0.999	0.000	1.082
	12	NF	1.022	0.000	0.000	0.000	1.964	0.000	2.050
	12	H	228	60	84	132	276	24	300
	14	K	0.916	0.891	0.866	0.841	0.817	0.793	0.771
	14	TF	0.222	0.000	0.000	0.000	0.173	0.000	0.077
	14	NF	1.176	0.000	0.000	0.000	0.866	0.000	0.967
	14	H	266	140	42	154	322	168	350
	16	K	0.969	0.951	0.931	0.910	0.888	0.866	0.844
	16	TF	0.119	0.000	0.239	0.000	0.071	0.000	0.065
	16	NF	1.065	0.000	1.198	0.000	1.015	0.000	0.988
	16	H	304	80	336	176	368	48	400
	18	K	0.997	0.988	0.975	0.959	0.942	0.924	0.905
	18	TF	4.060	0.000	0.000	0.000	0.077	0.000	0.106
	18	NF	3.018	0.000	0.000	0.000	0.974	0.000	0.932
	18	H	342	180	126	198	414	72	450
	20	K	0.997		0.997	0.990	0.979	0.966	0.951
	20	TF	4.060		4.481	0.000	0.087	0.000	0.000
	20	NF	3.018		3.444	0.000	1.040	0.000	0.000
	20	H	380		420	220	460	120	100
	22	K	0.969	0.988	0.997		0.998	0.991	0.982
	22	TF	0.119	0.000	4.481		4.904	0.000	0.088
	22	NF	1.065	0.000	3.444		3.869	0.000	1.047
	22	H	418	220	462		506	264	550
	24	K	0.916	0.951	0.975	0.990	0.998	1.000	0.998
	24	TF	0.222	0.000	0.000	0.000	4.904	0.000	5.326
	24	NF	1.176	0.000	0.000	0.000	3.869	0.000	4.295
	24	H	456	120	168	264	552	24	600



Radial Force
Exists



Nonfunctioning
as Motor

10007036 011200E

2025 RELEASE UNDER E.O. 14176

Fig. 9 (a)

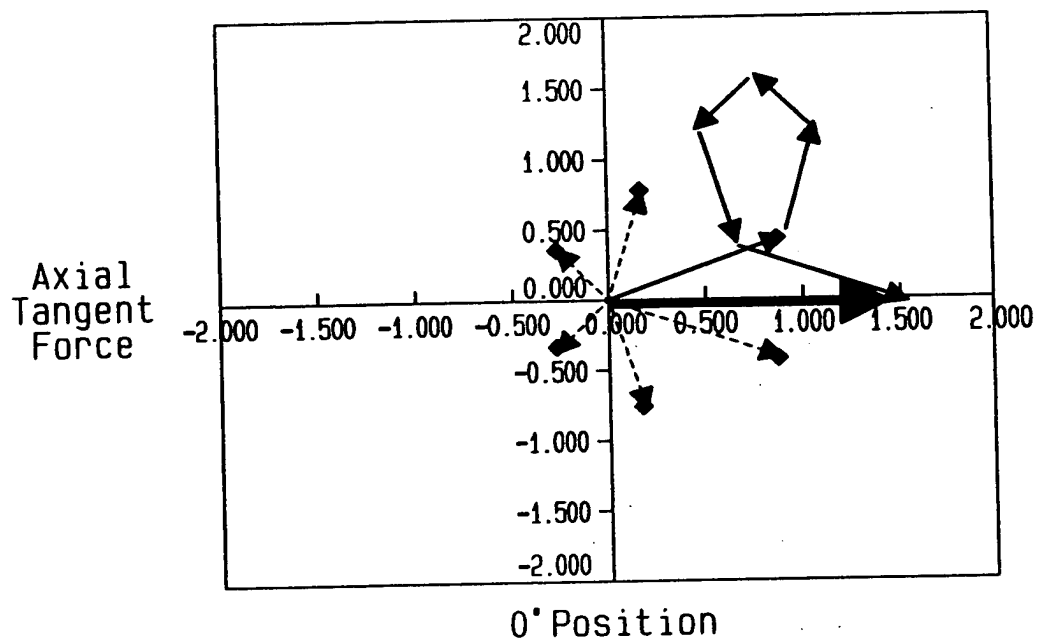


Fig. 9 (b)

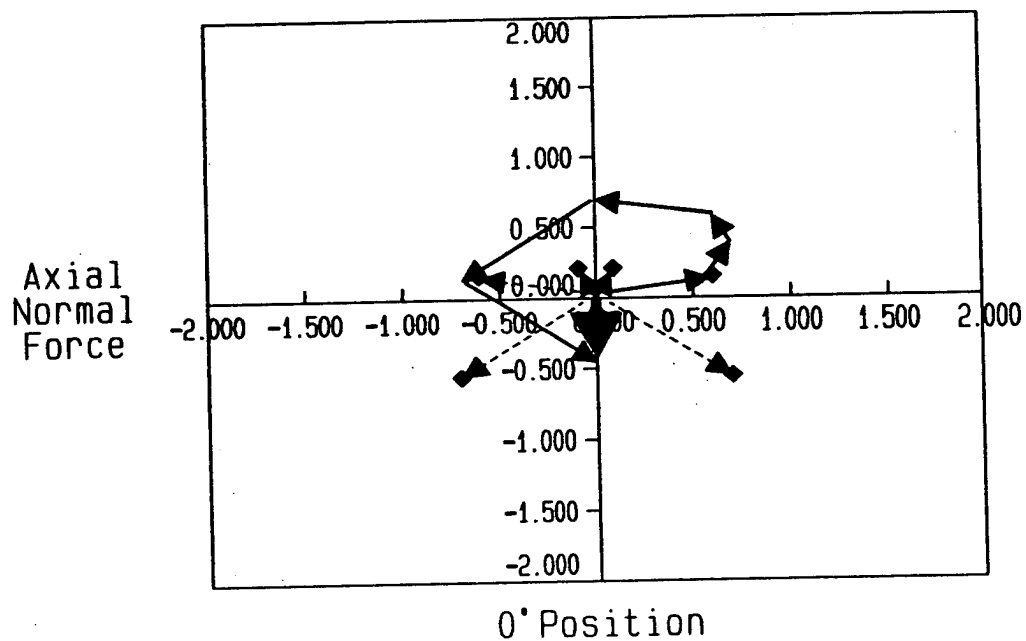


Fig.10(a)

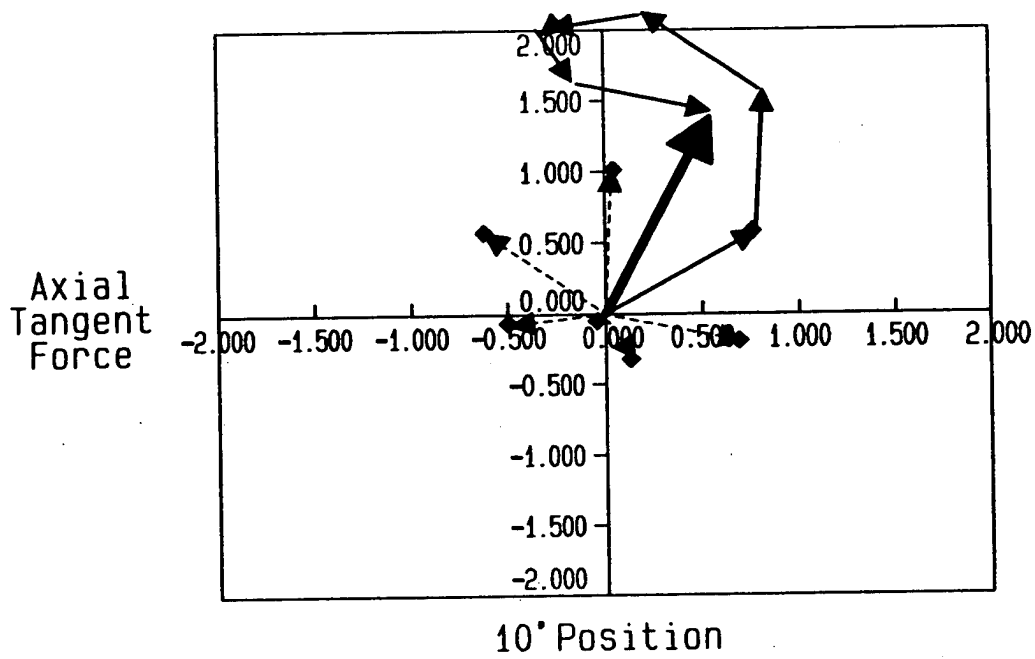


Fig.10(b)

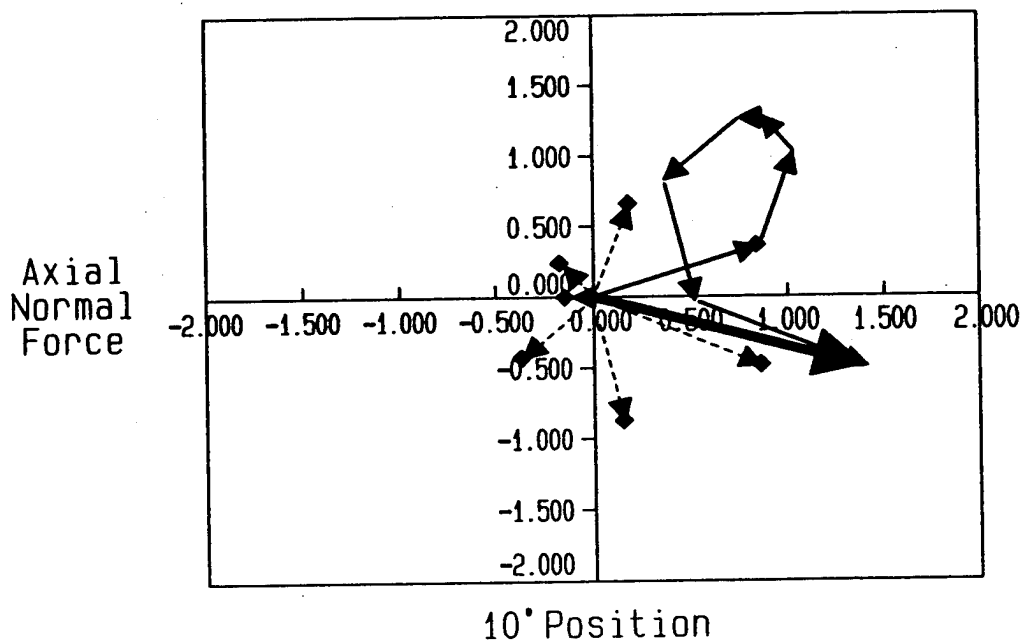


Fig.11 (a)

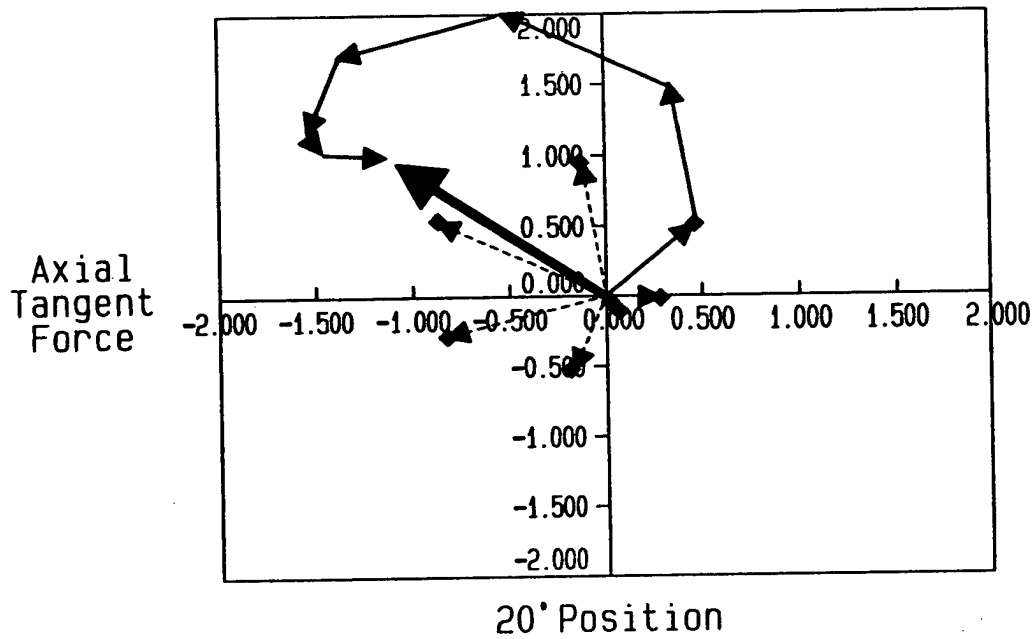


Fig.11 (b)

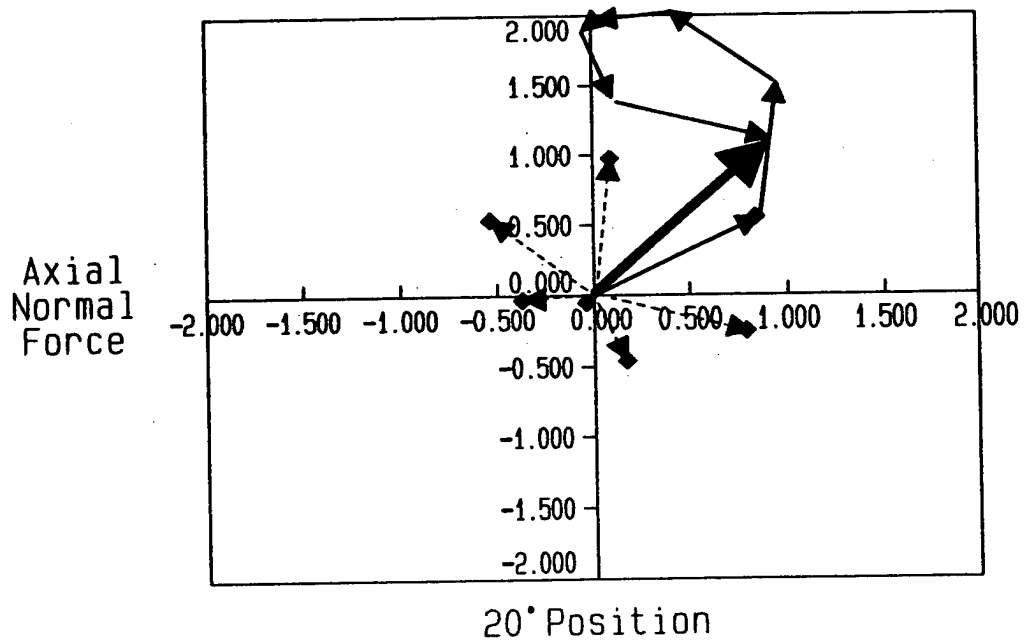


Fig.12 (a)

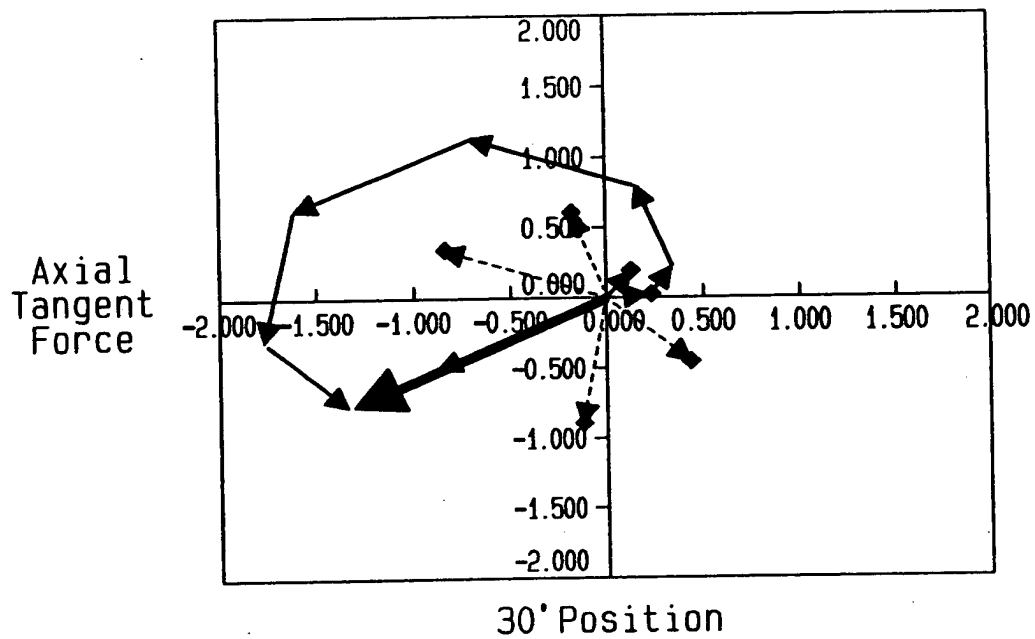
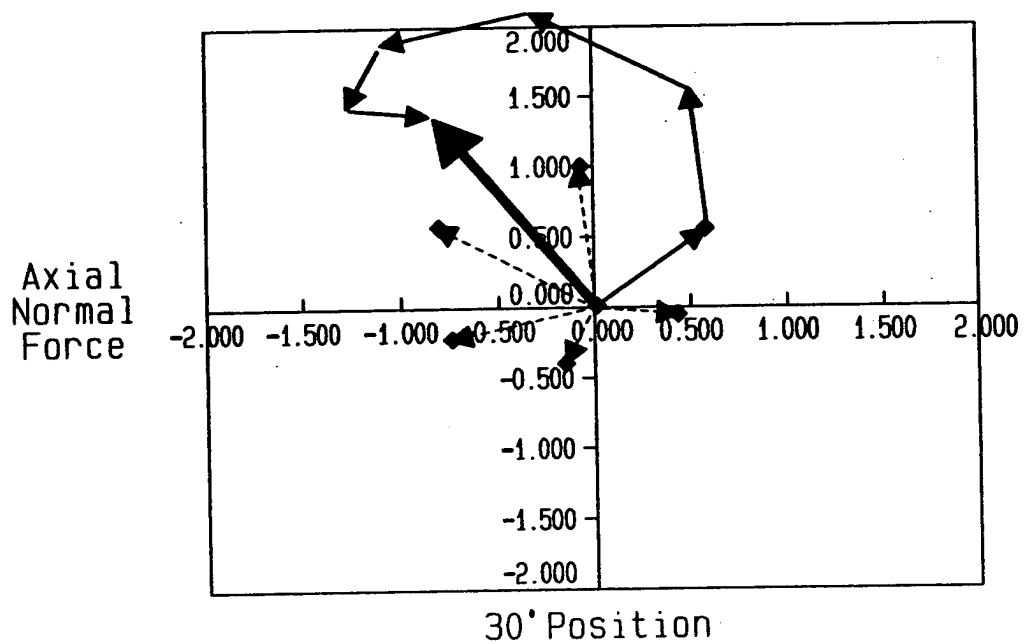


Fig.12 (b)



200220-92028001 10087035-0200

Fig.13(a)

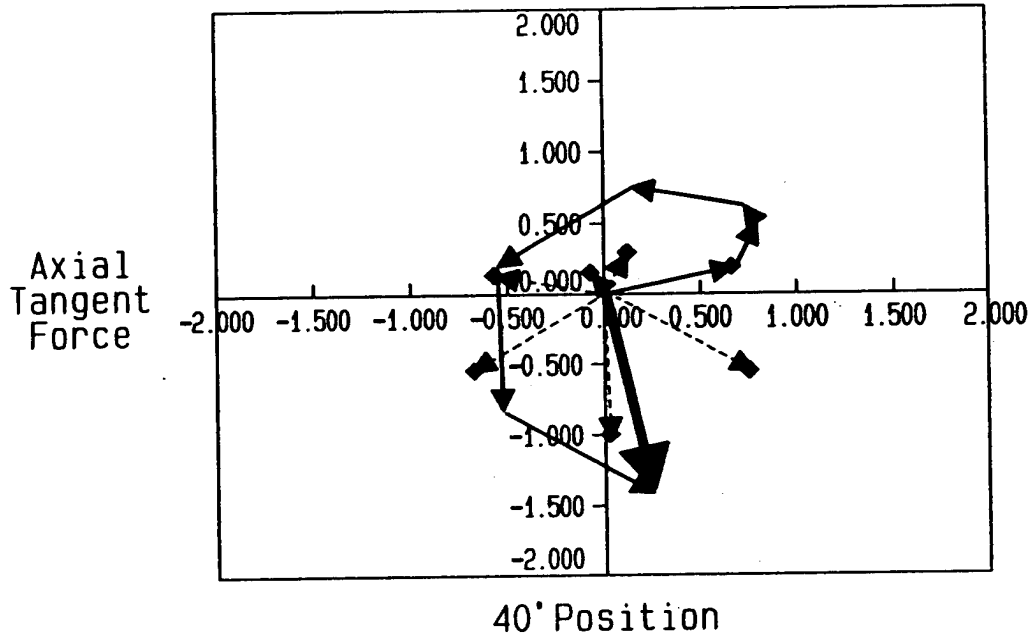
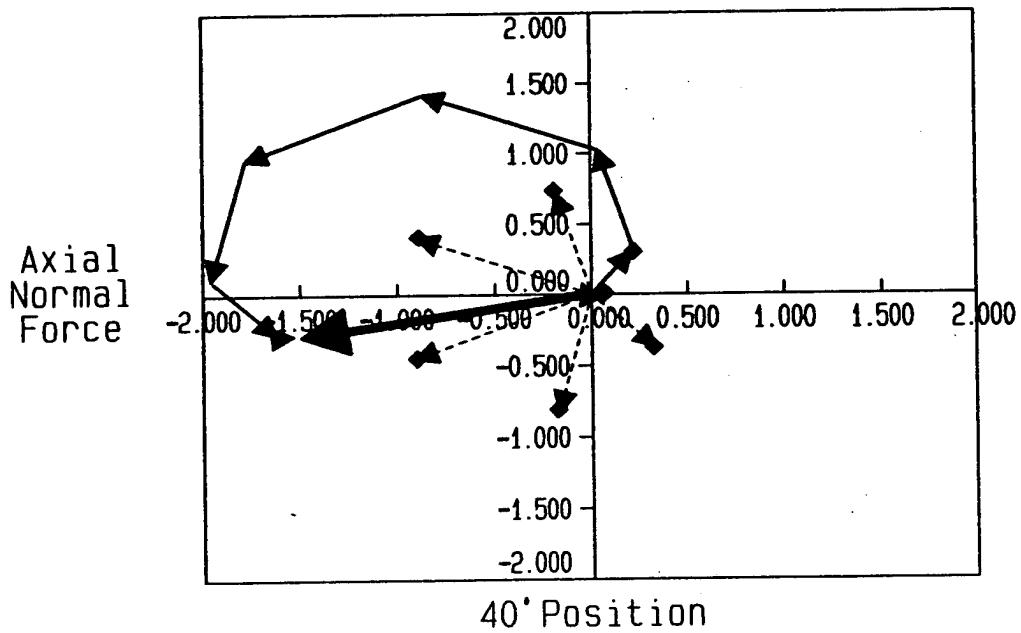


Fig.13(b)



200220" 92028004

Fig.14(a)

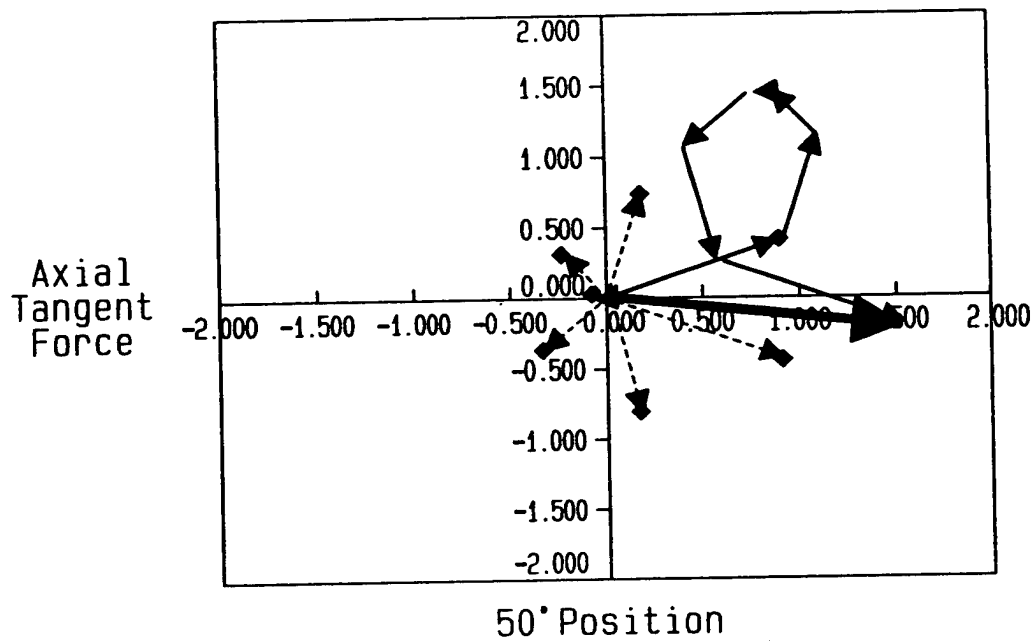
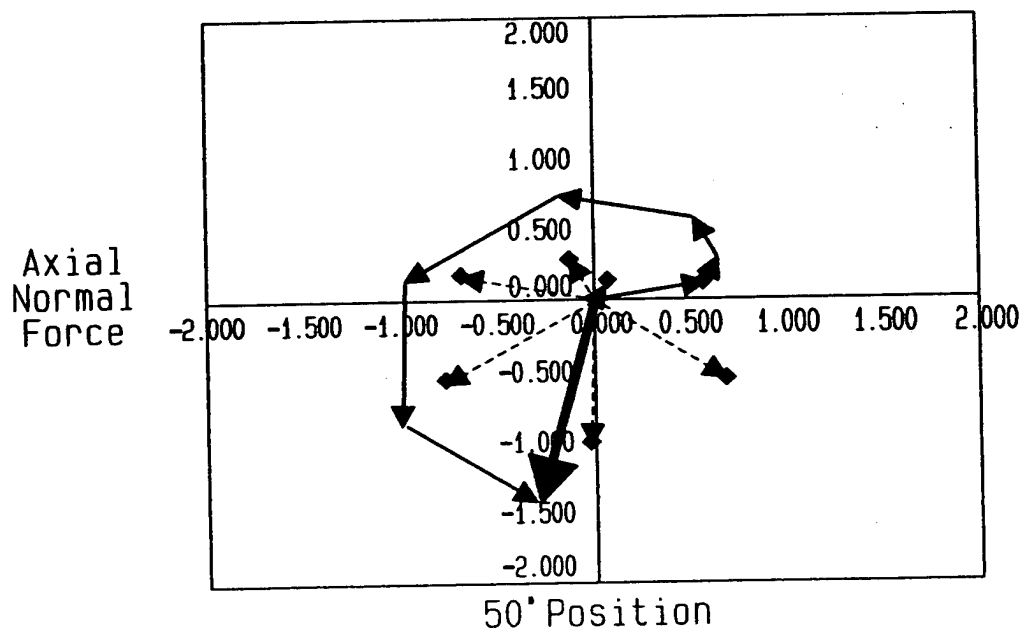


Fig.14(b)



20020301 090400Z

Fig.15 (a)

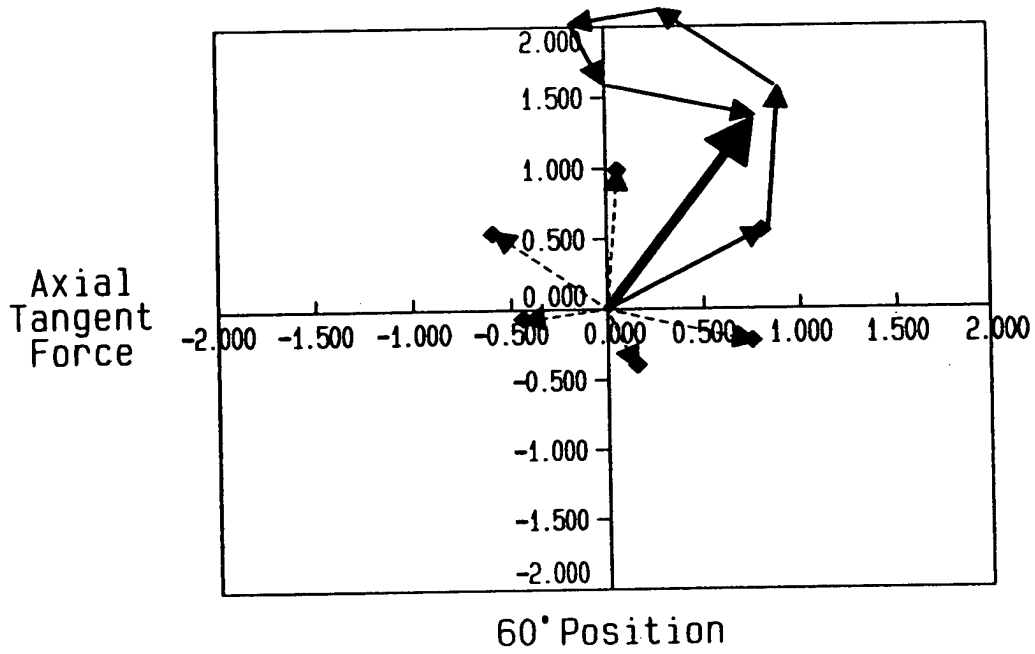


Fig.15 (b)

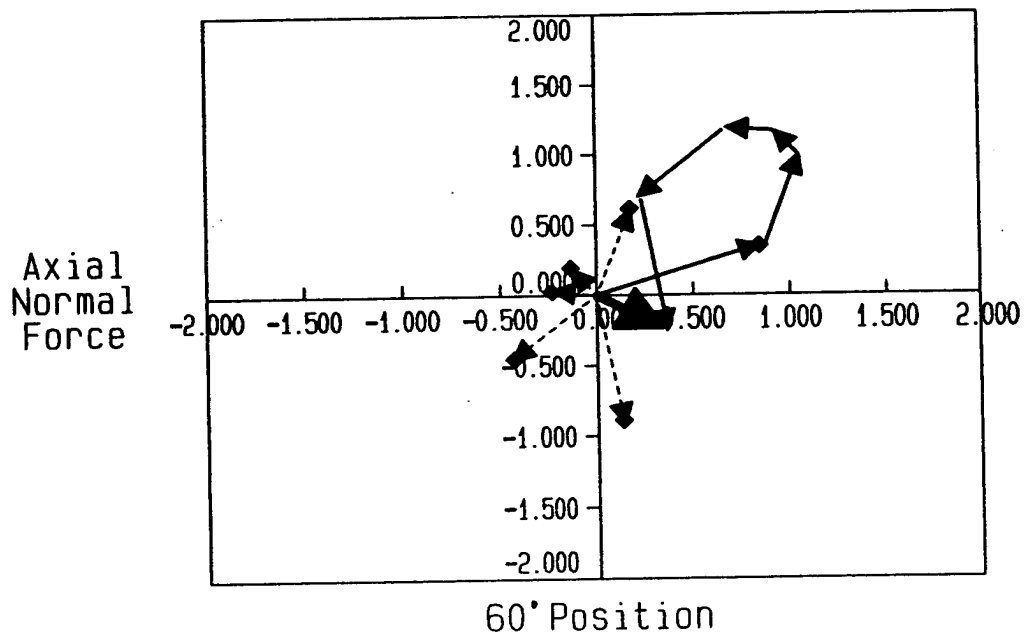


Fig.16 (a)

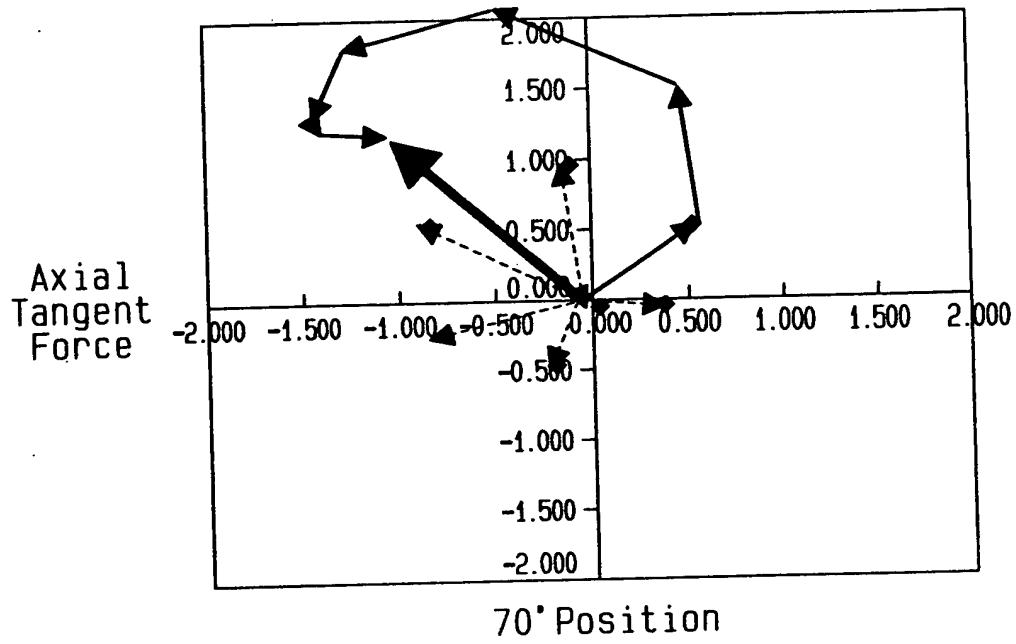
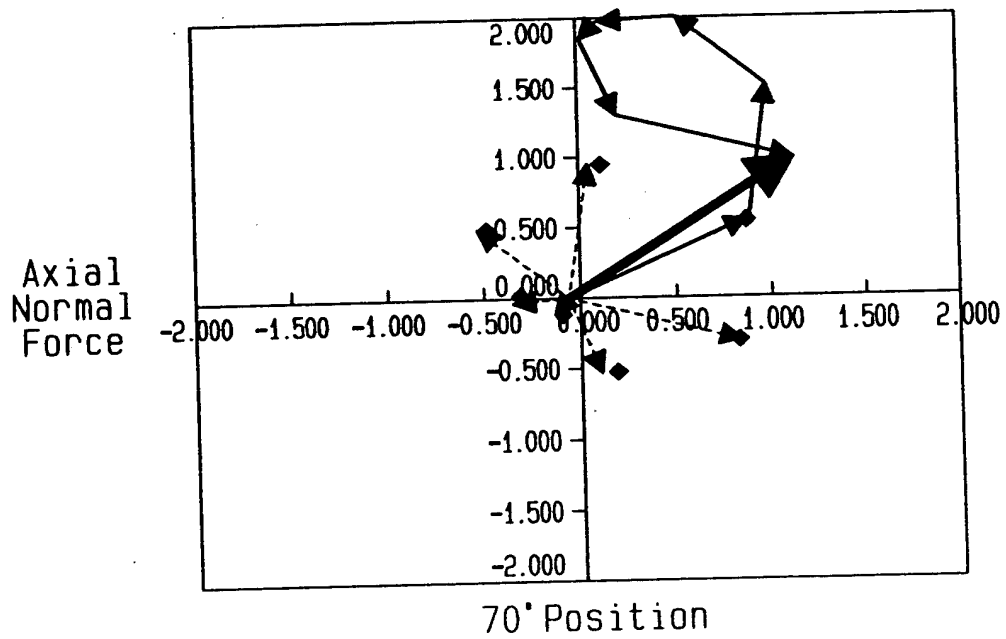


Fig.16 (b)



10024907 902000

Fig.17 (a)

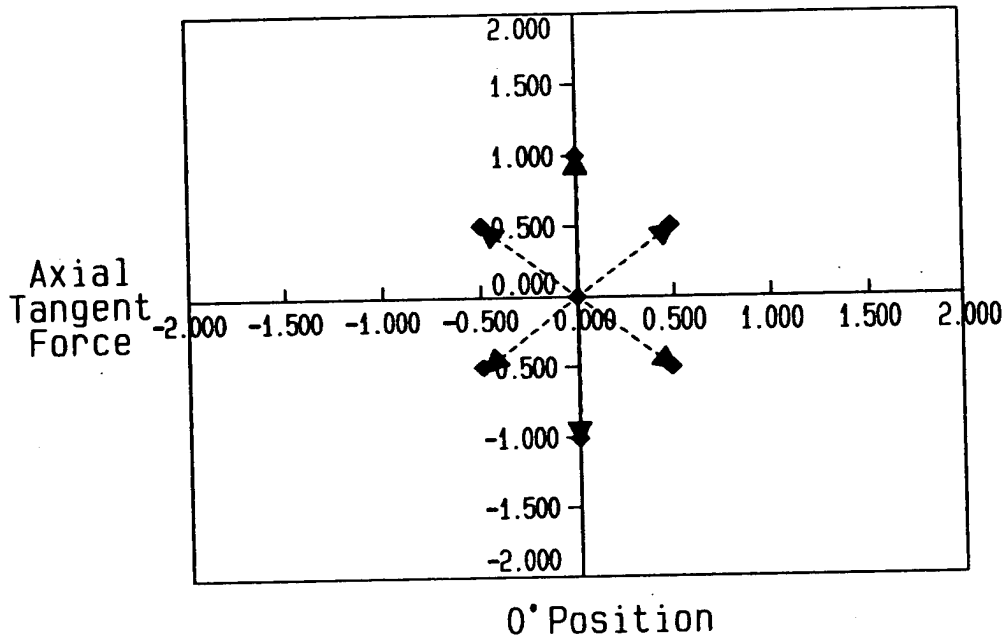
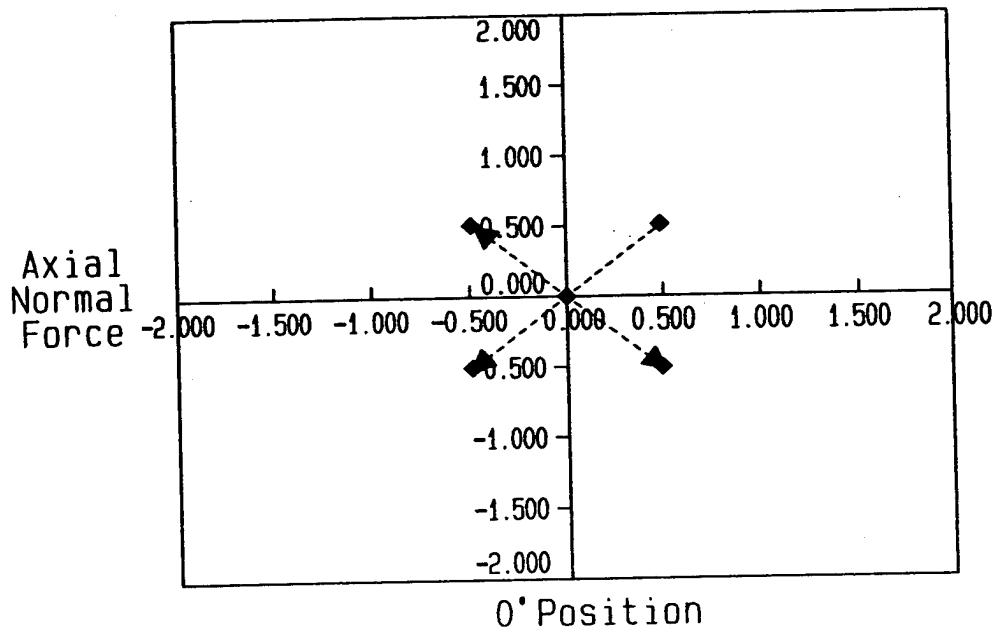


Fig.17 (b)



10032036, 022600
203220, 92026001

Fig.18(a)

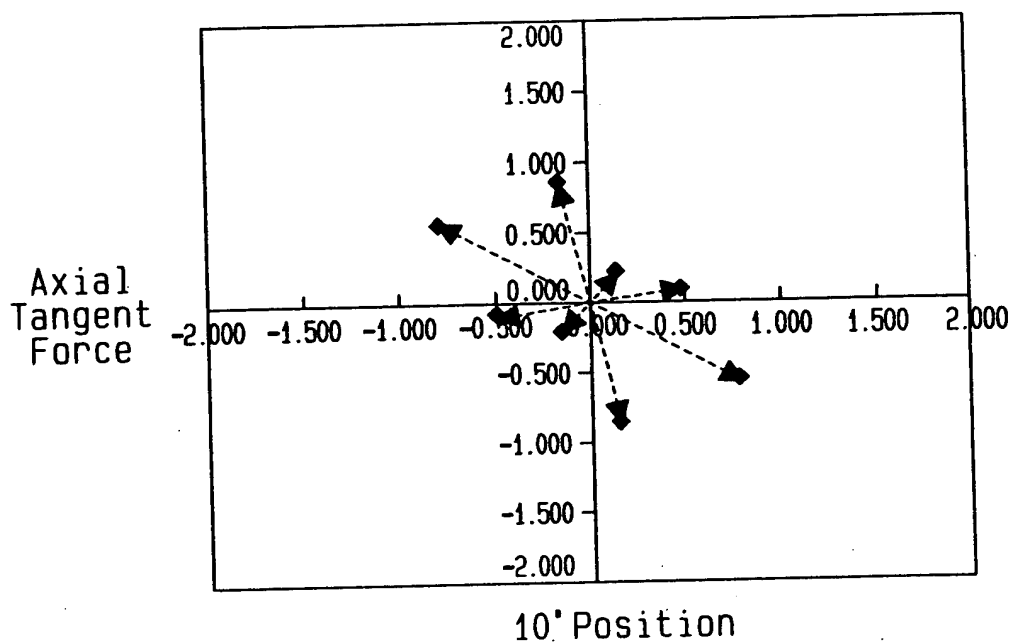
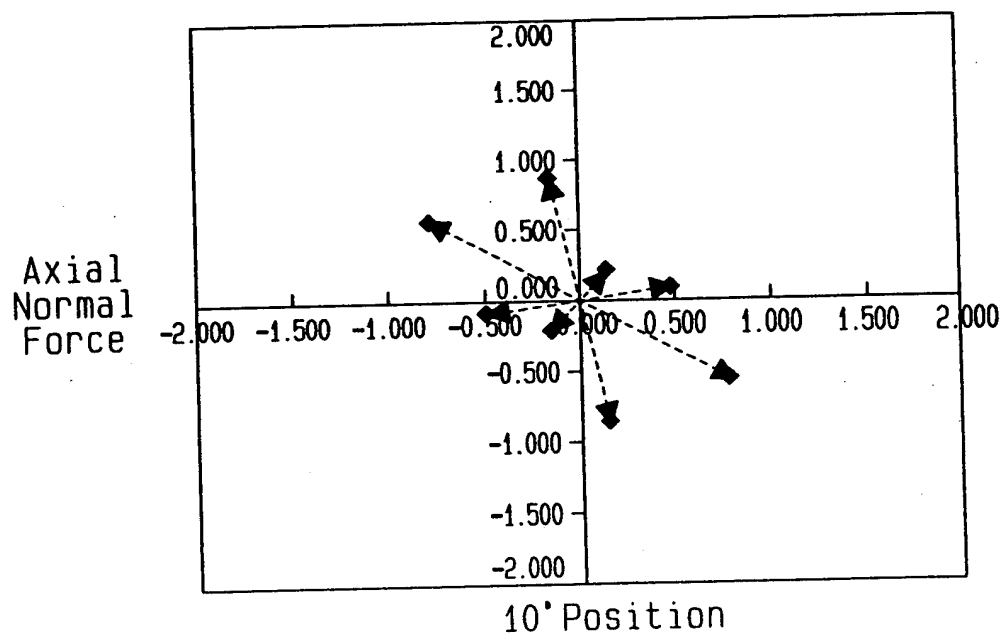


Fig.18(b)



10087036 022002

Fig.19(a)

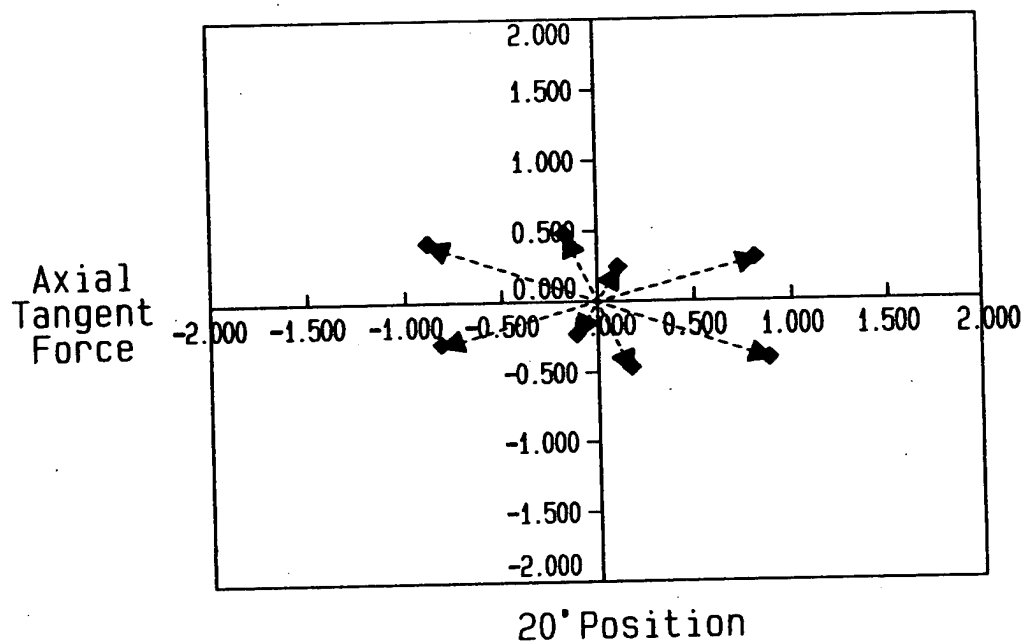


Fig.19(b)

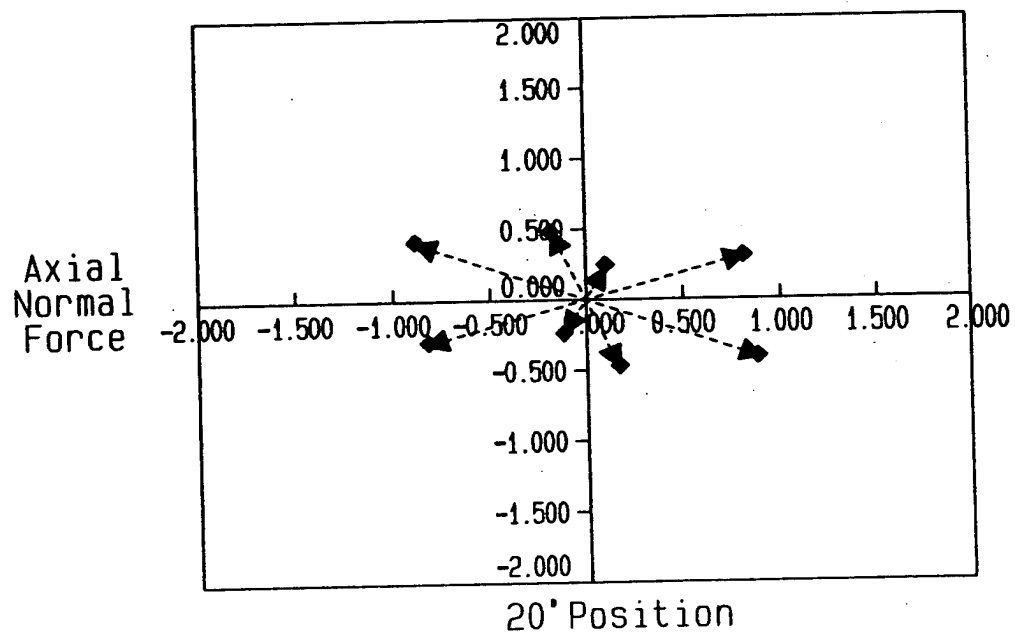
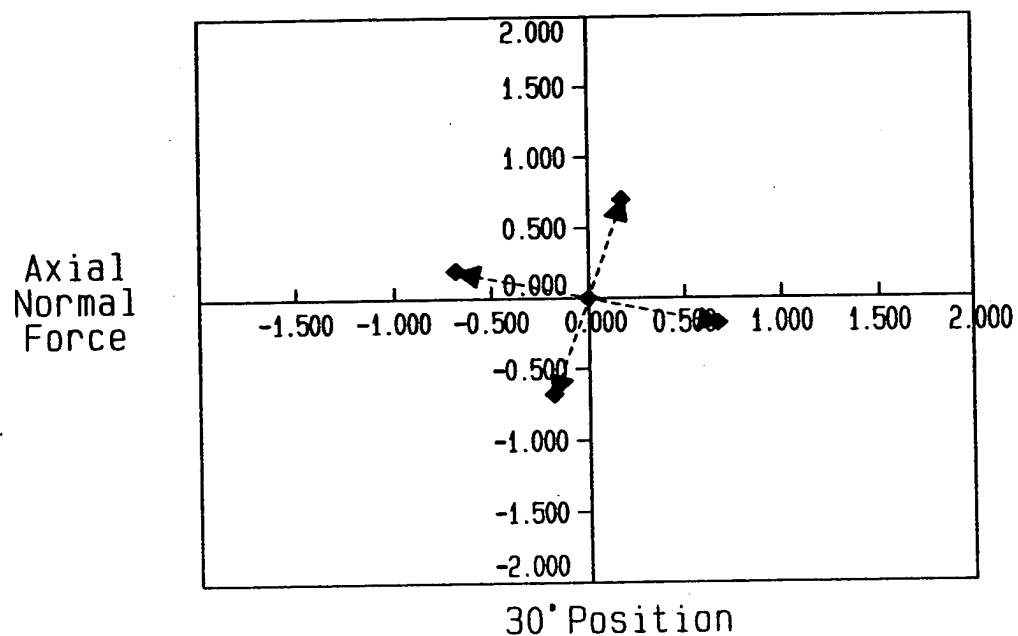


Fig. 20 (a)



1007035-02280
203220-9204001

Fig.21 (a)

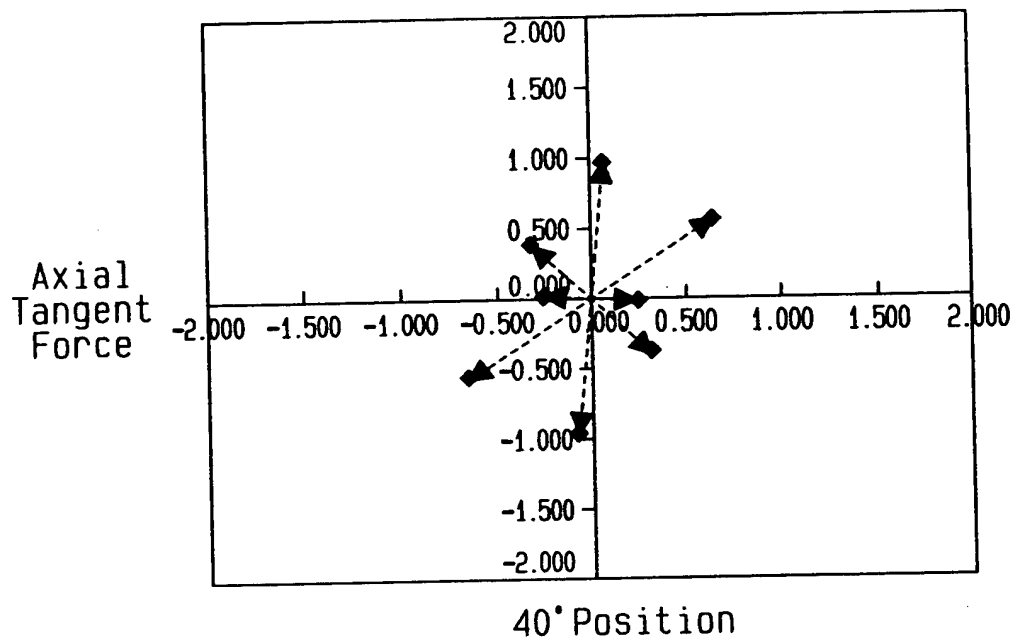


Fig.21 (b)

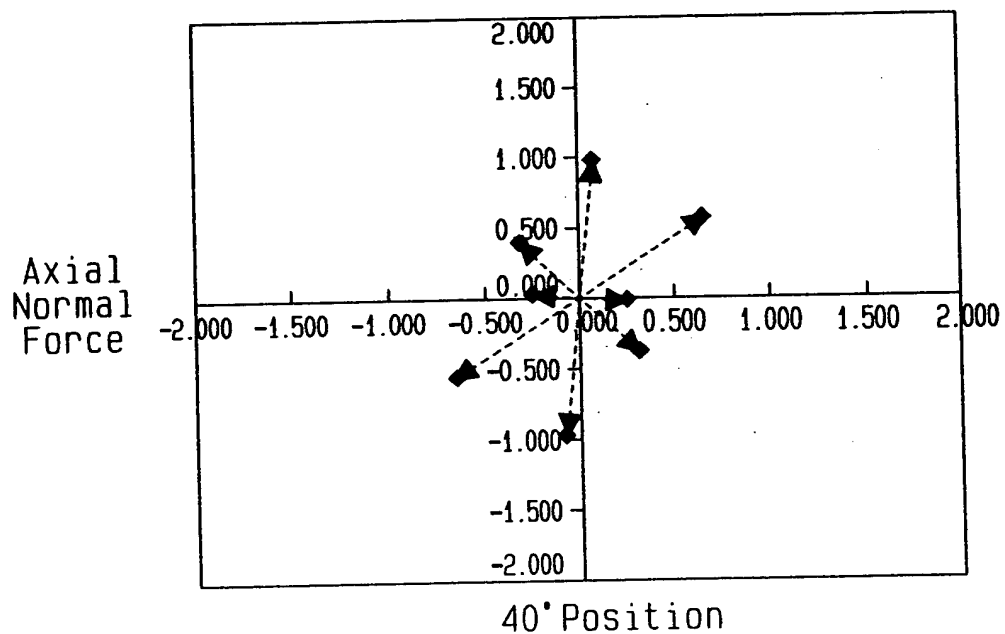


Fig. 22 (a)

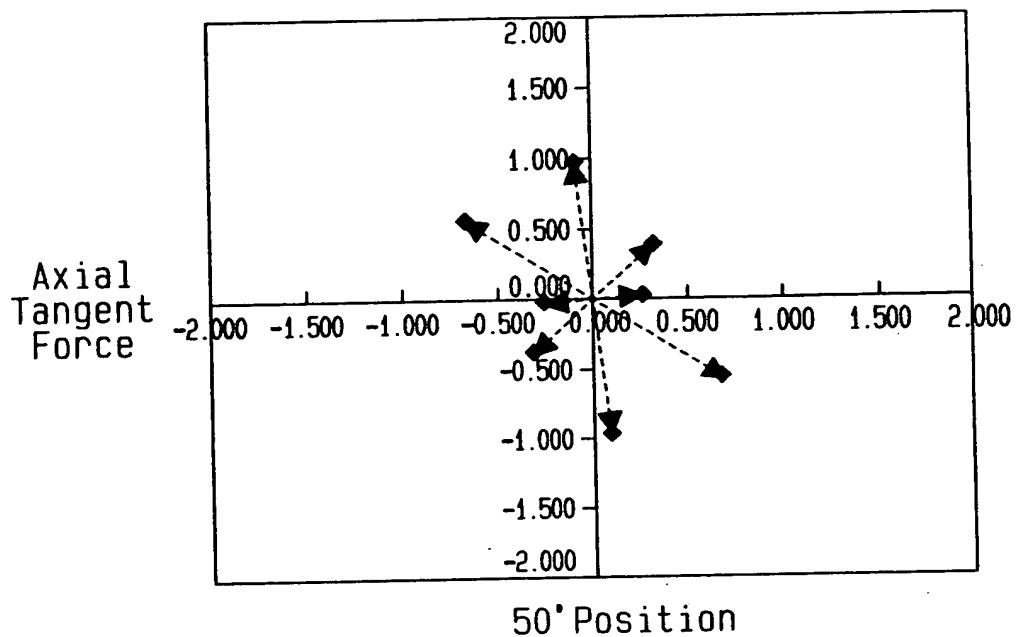
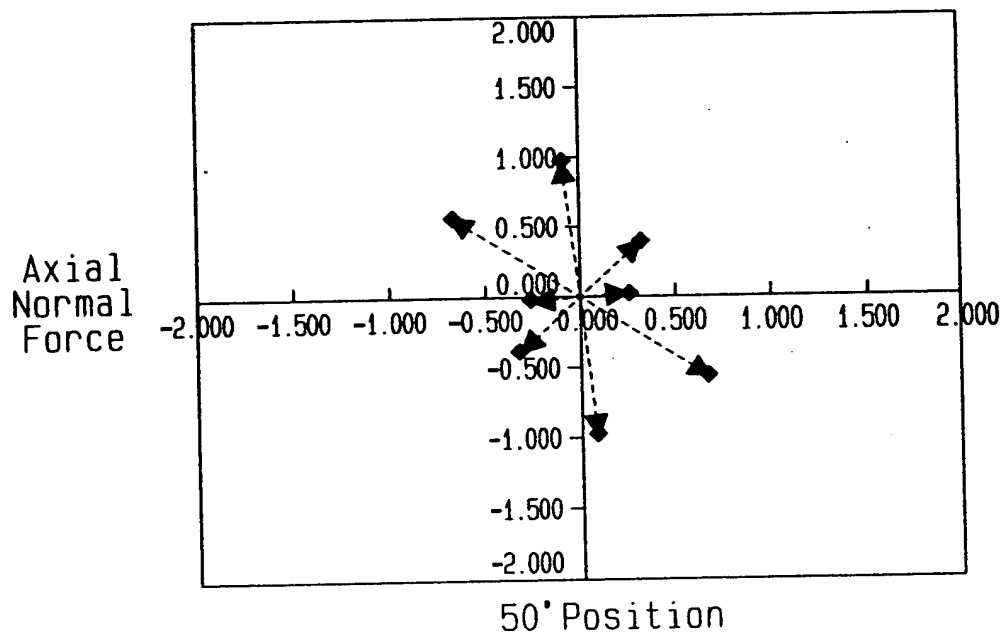


Fig. 22 (b)



10087035 020007
20020 92048007

Fig. 23 (a)

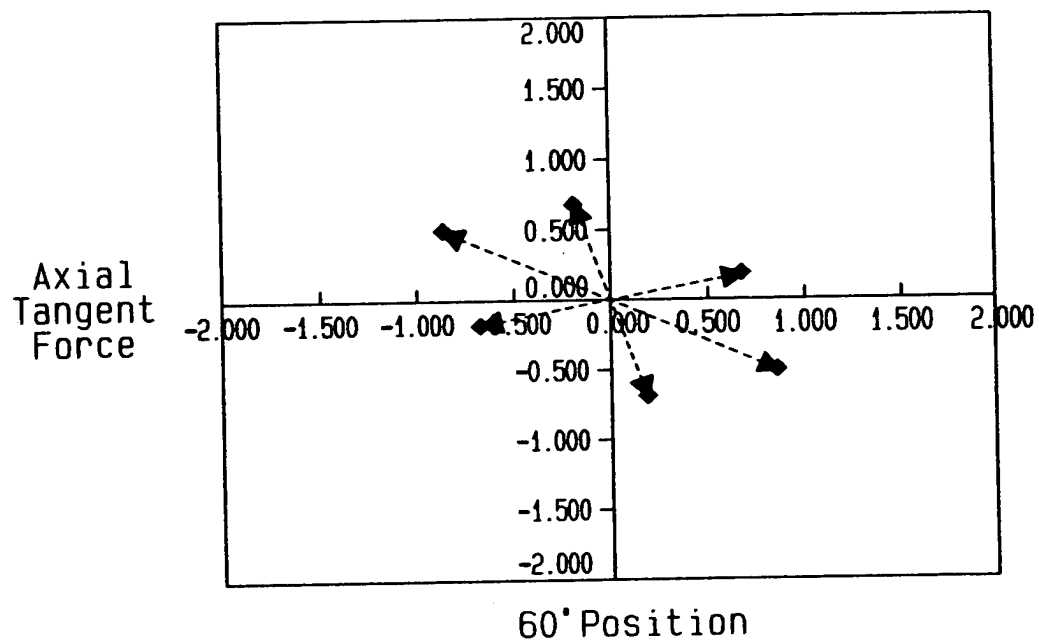
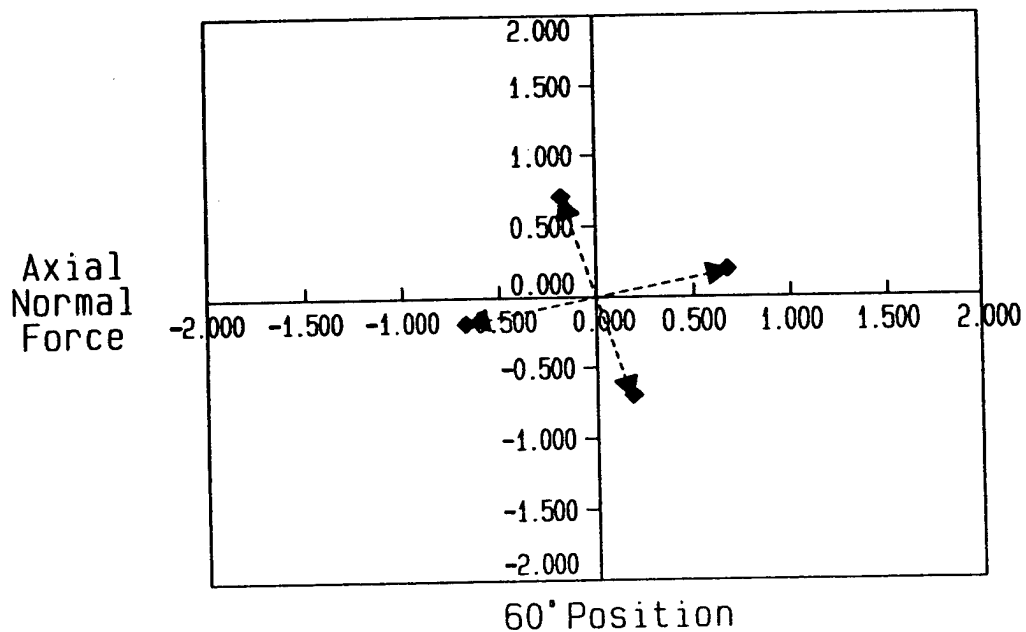


Fig. 23 (b)



20220-502007

Fig.24 (a)

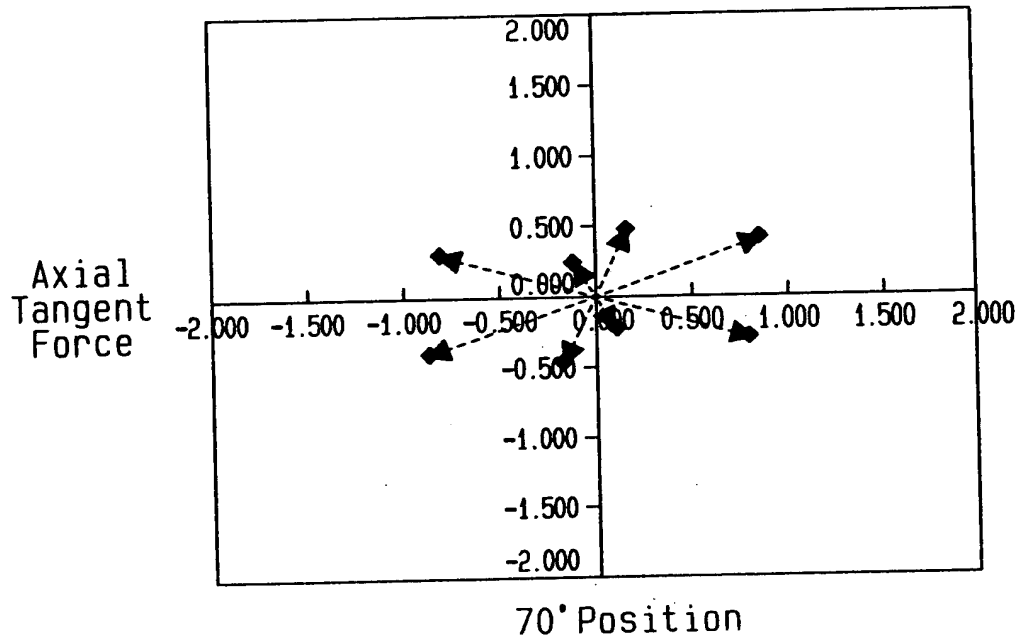
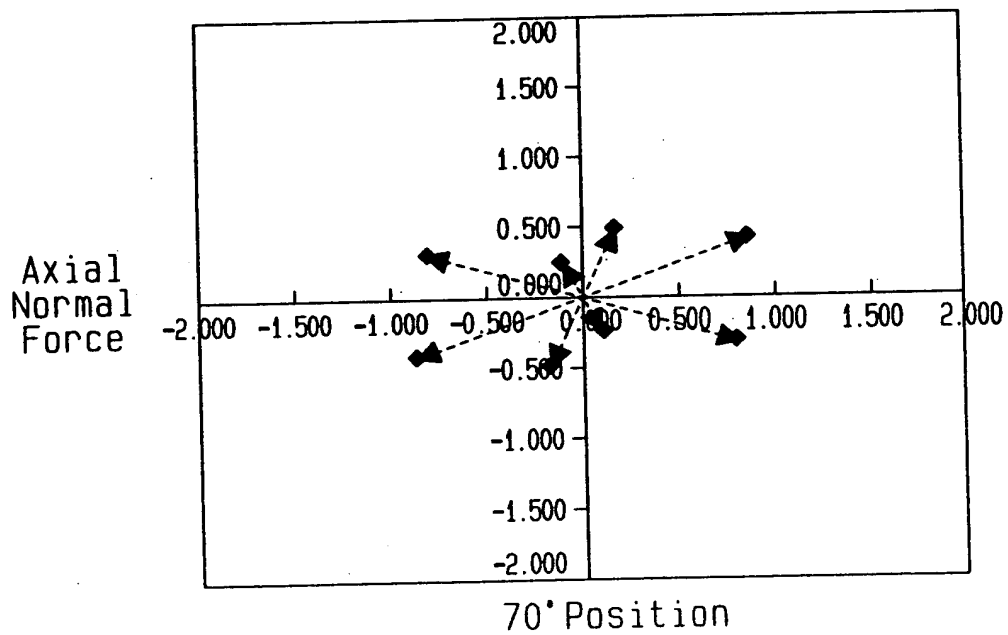


Fig.24 (b)



10067036 020200

Fig.25 (a)

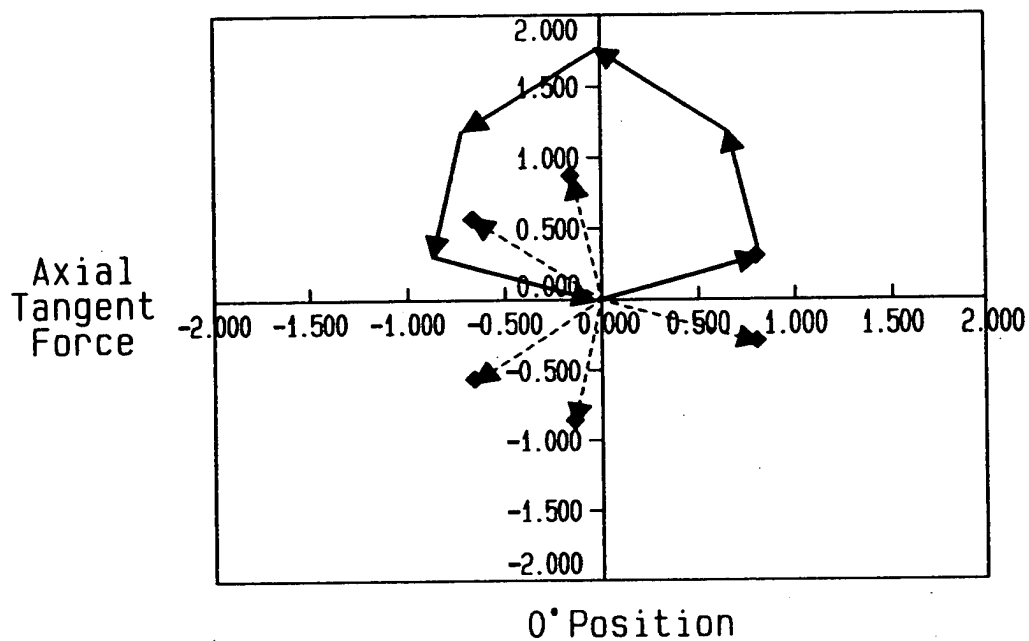


Fig.25 (b)

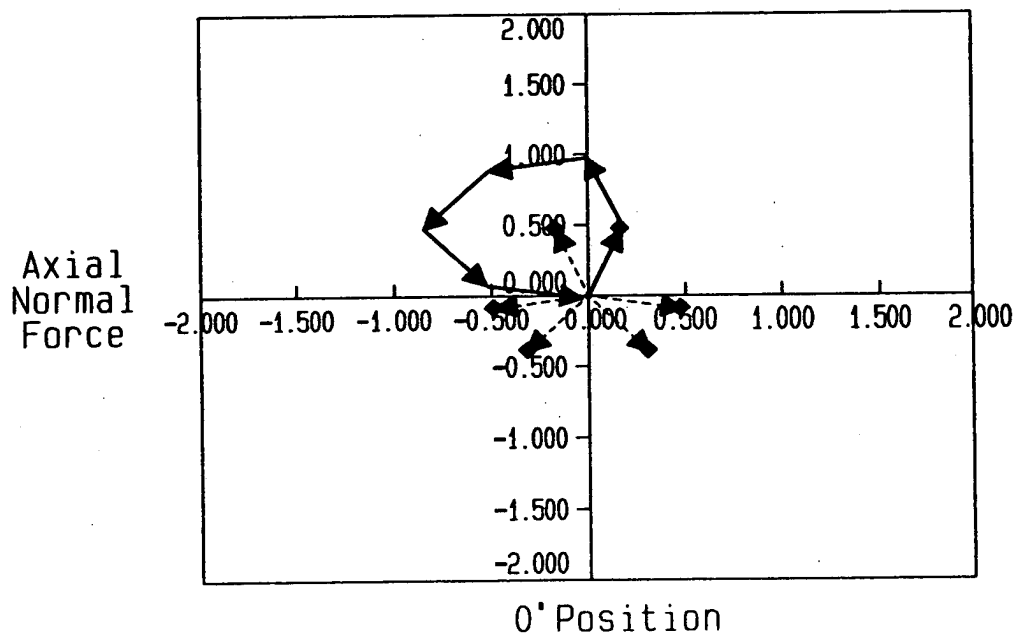


Fig. 26 (b)

Fig.27 (a)

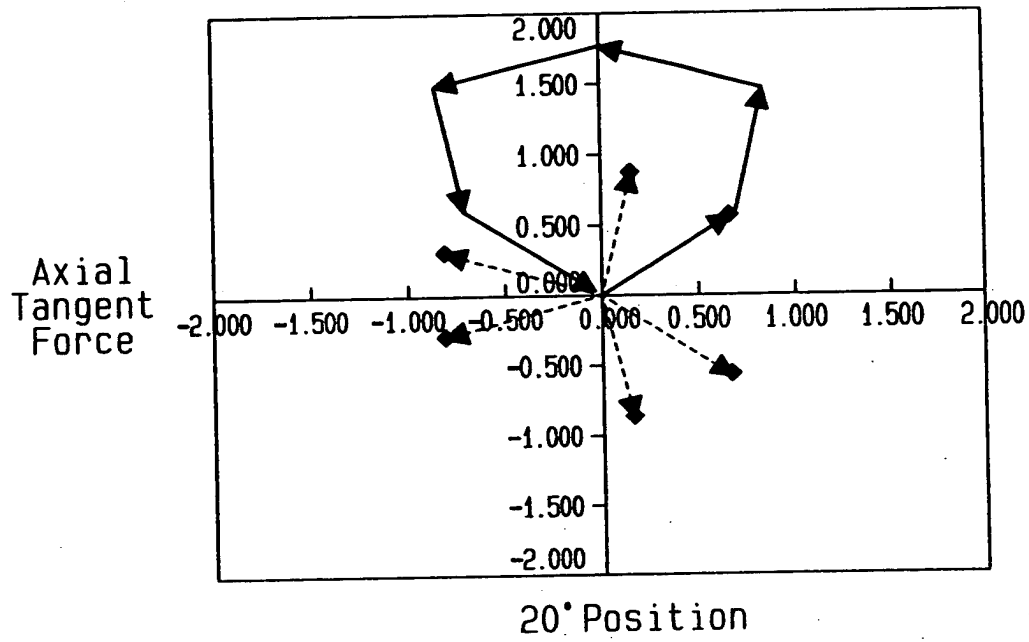
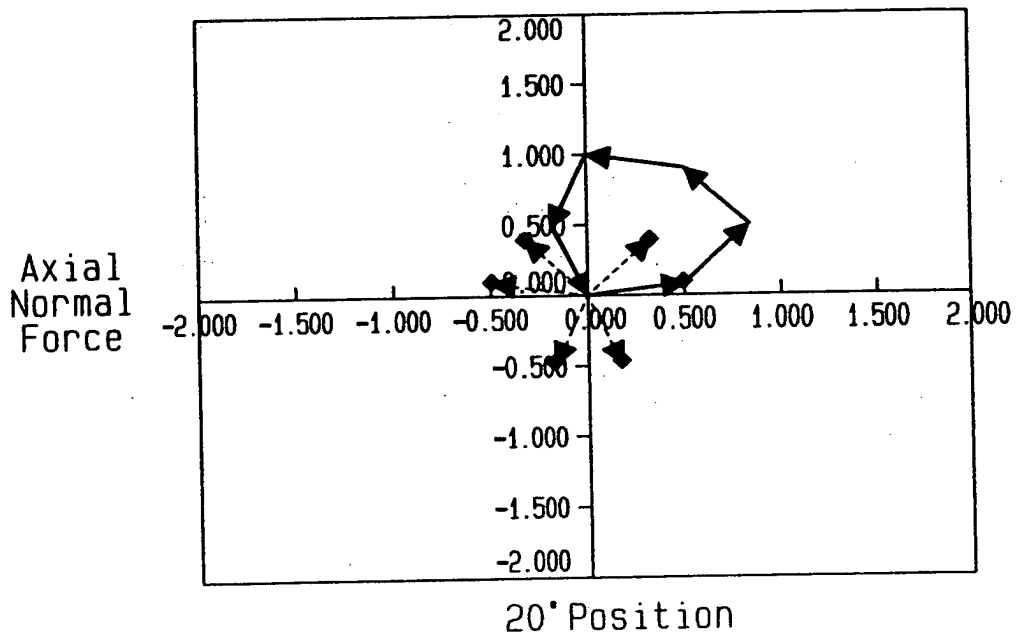


Fig.27 (b)



20250-520250T

Fig.28 (a)

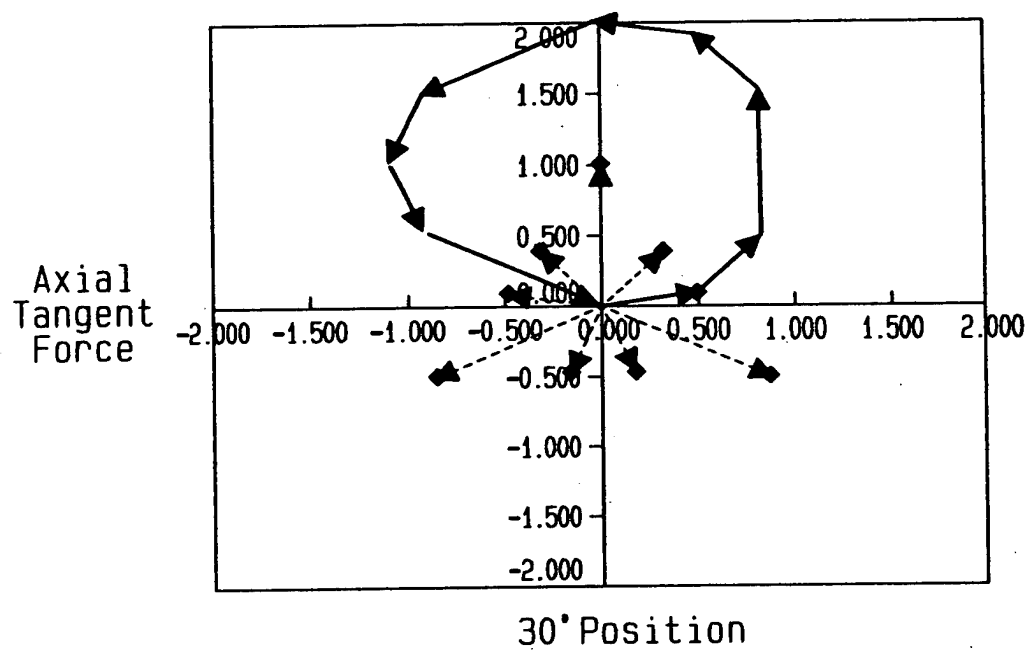
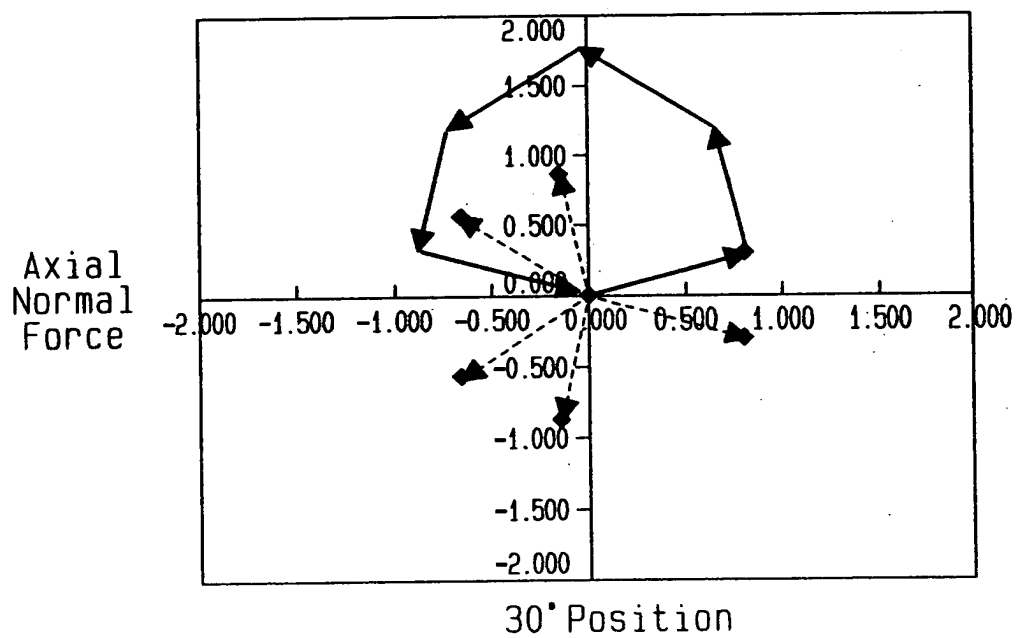


Fig.28 (b)



100703 0000
200000 0000

Fig. 30 (a)

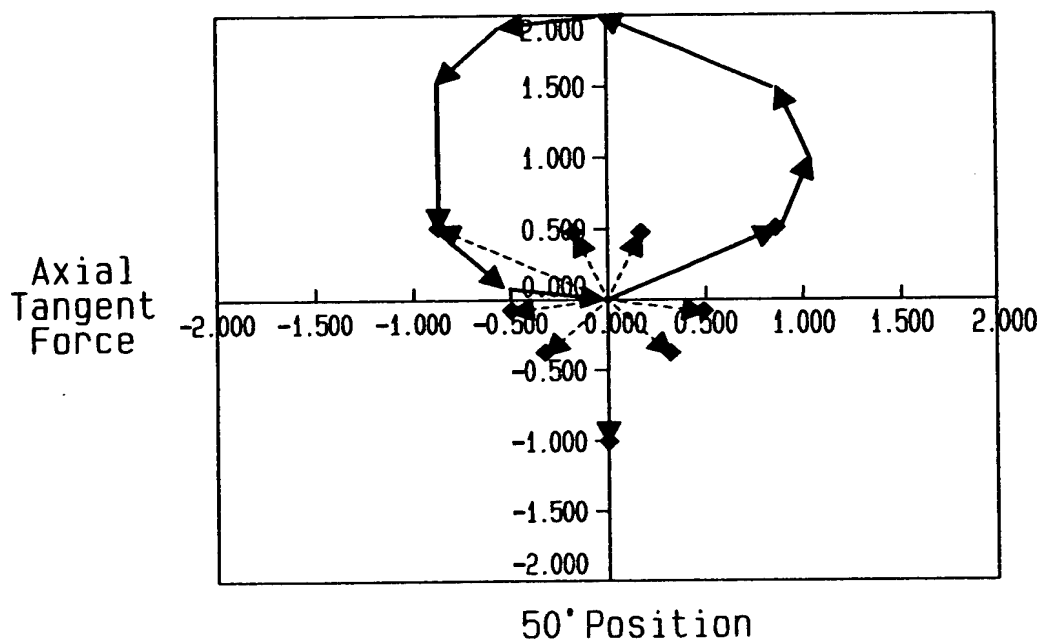
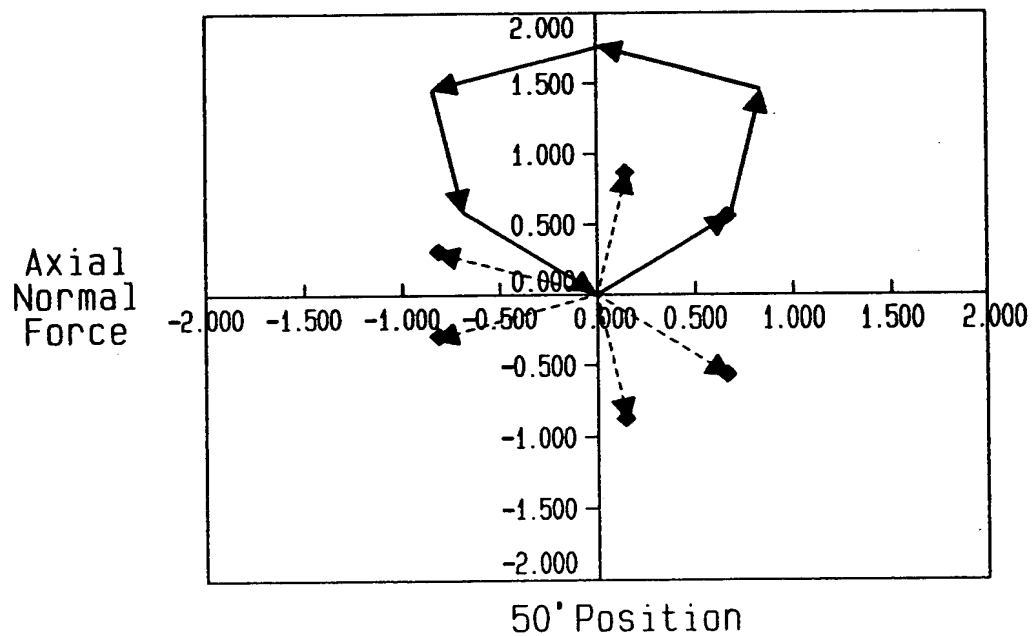


Fig. 30 (b)



10087035 022003
200220 502400T

Fig.31 (a)

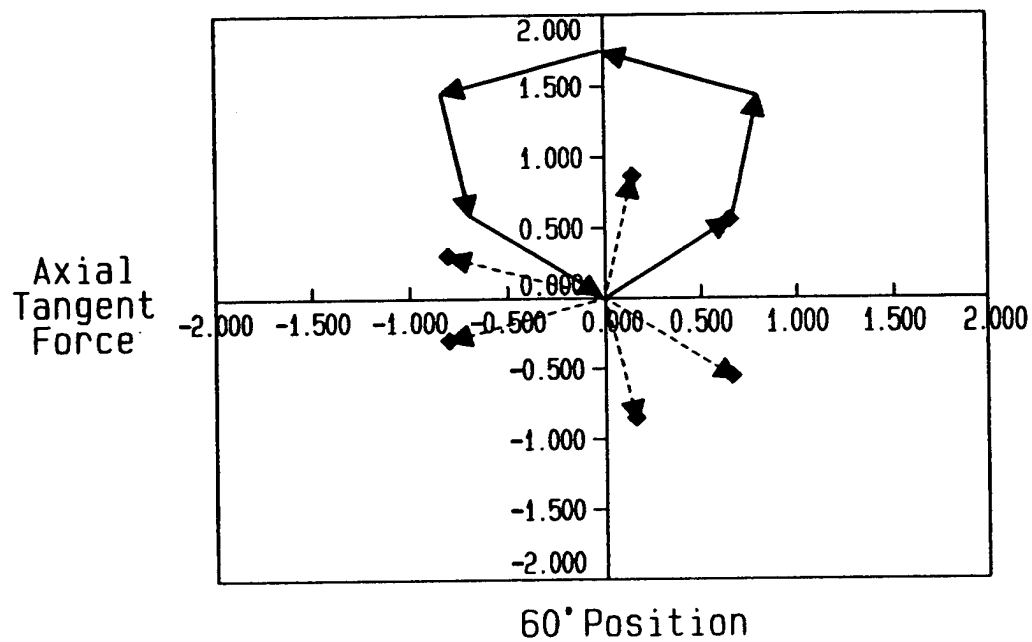
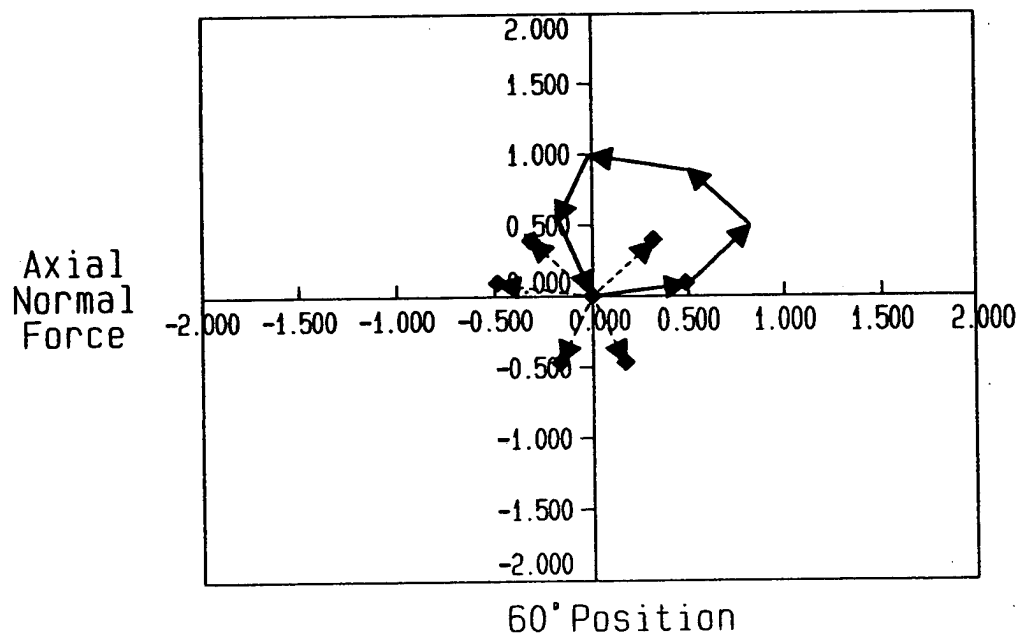


Fig.31 (b)



SECRET

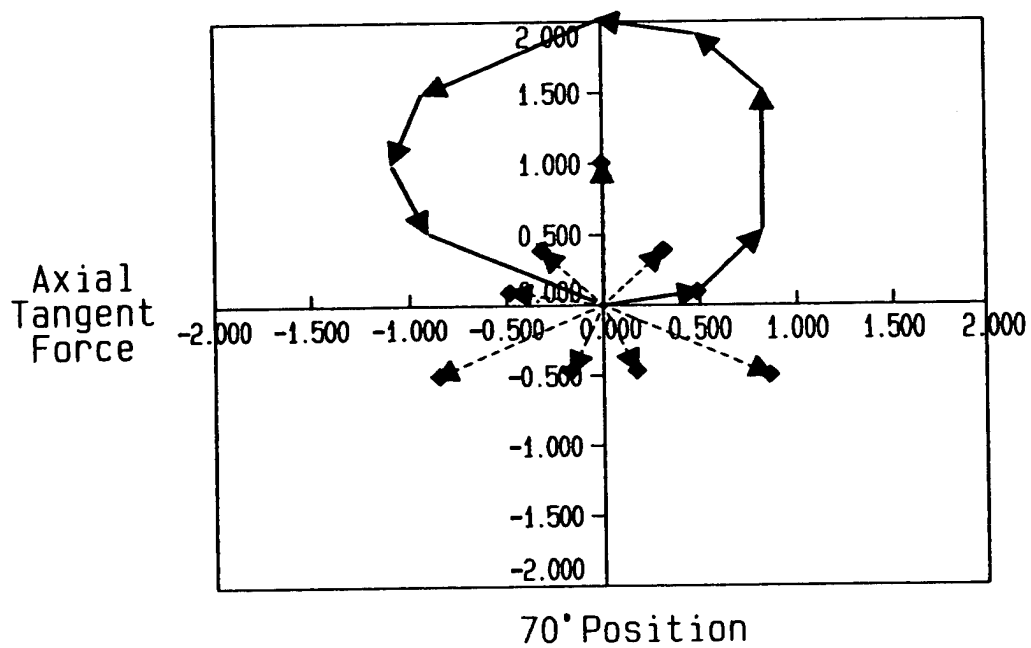


Fig. 32 (b)

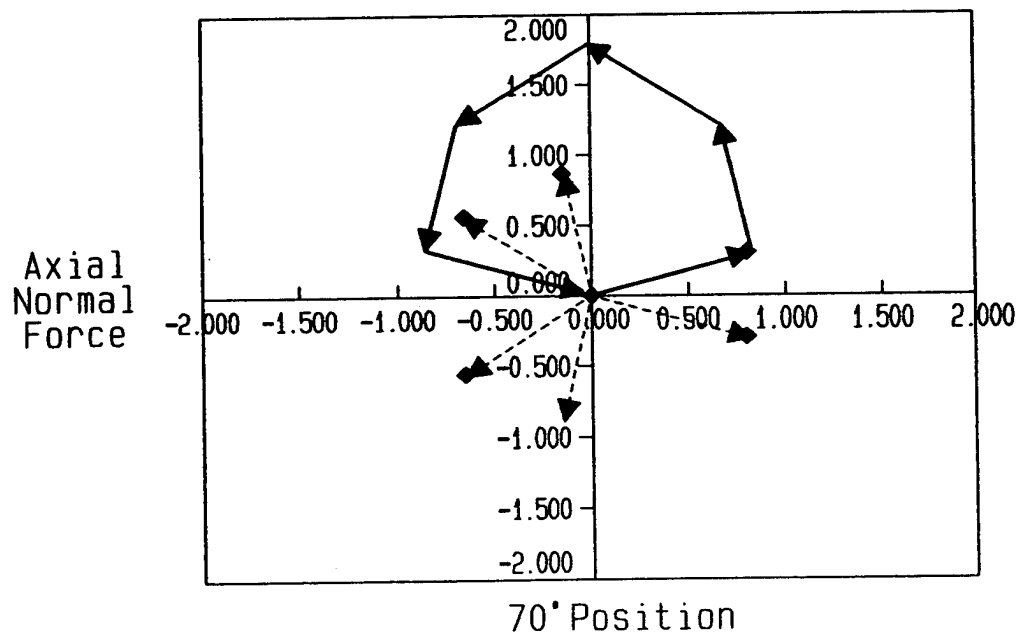


Fig. 33

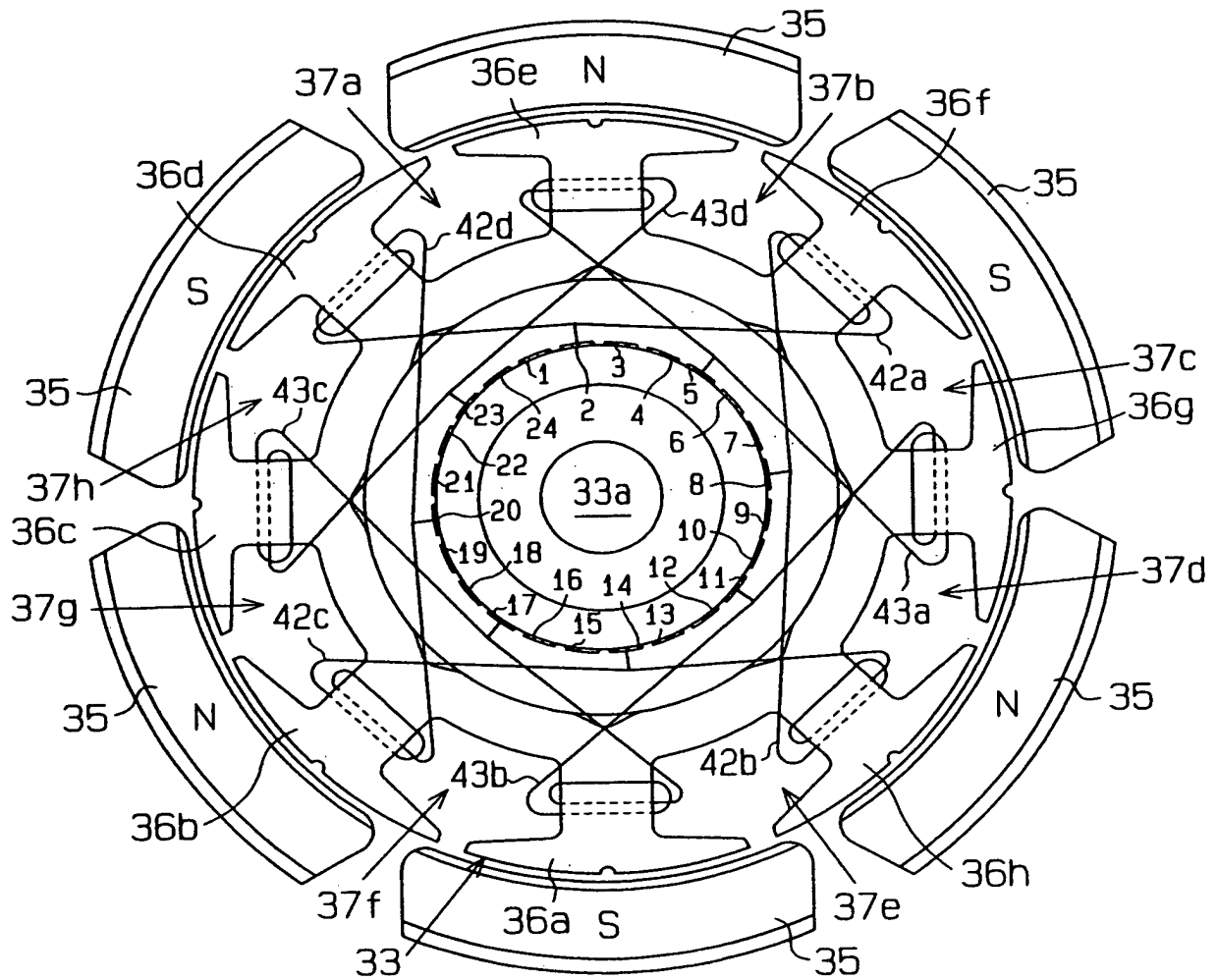


Fig. 33

Fig. 34

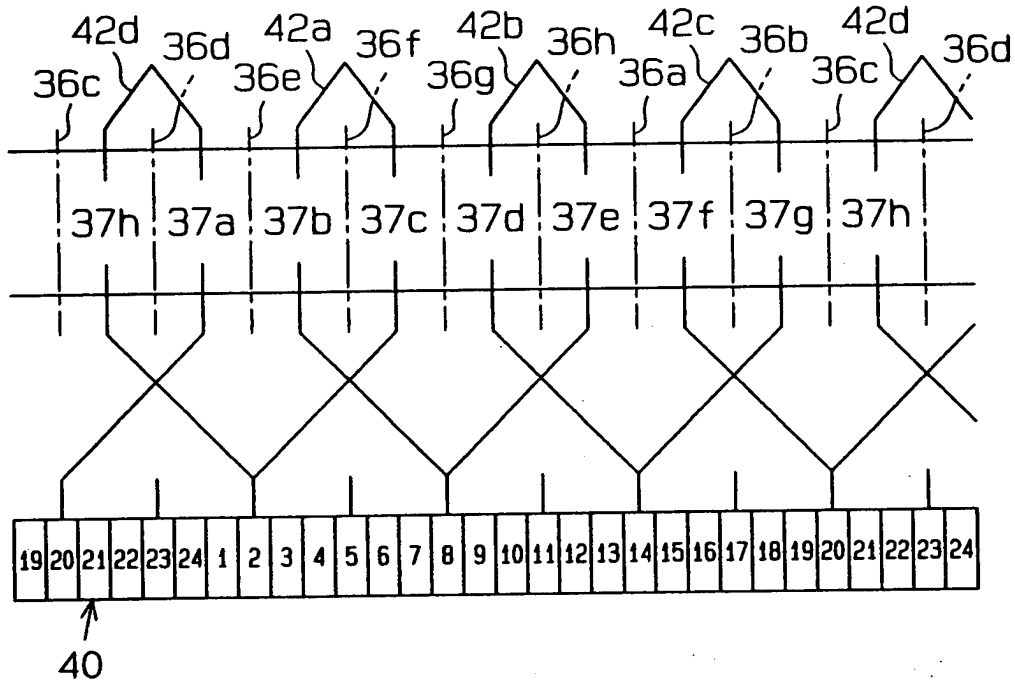


Fig. 35

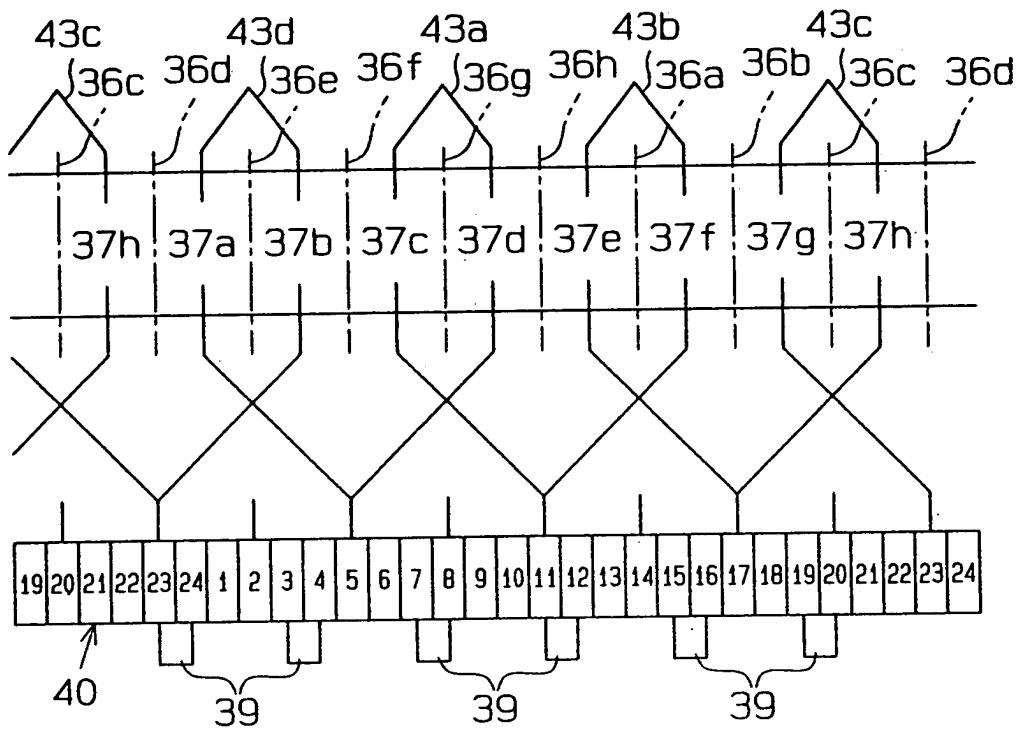


Fig. 36

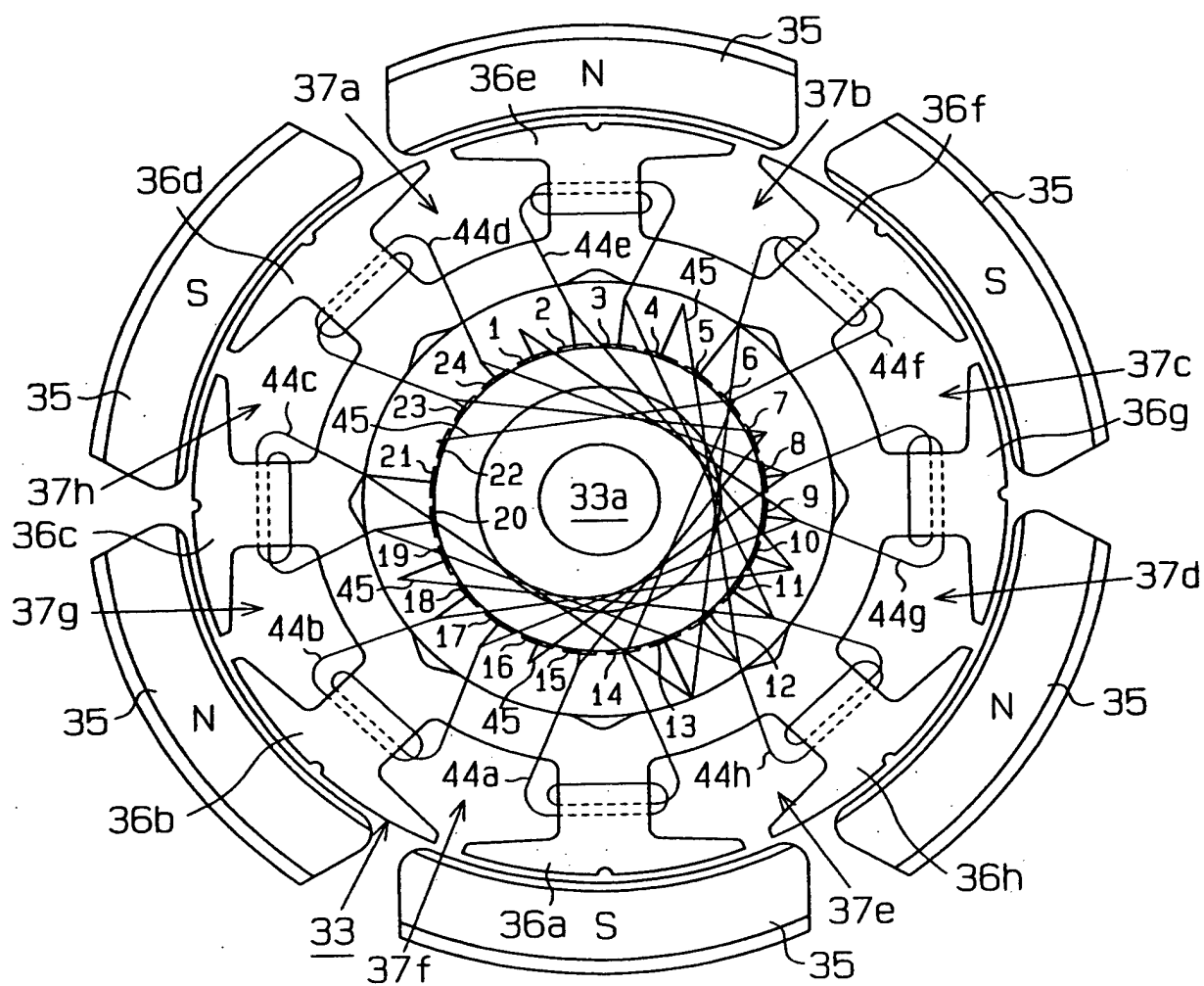


Fig. 36

Fig. 37

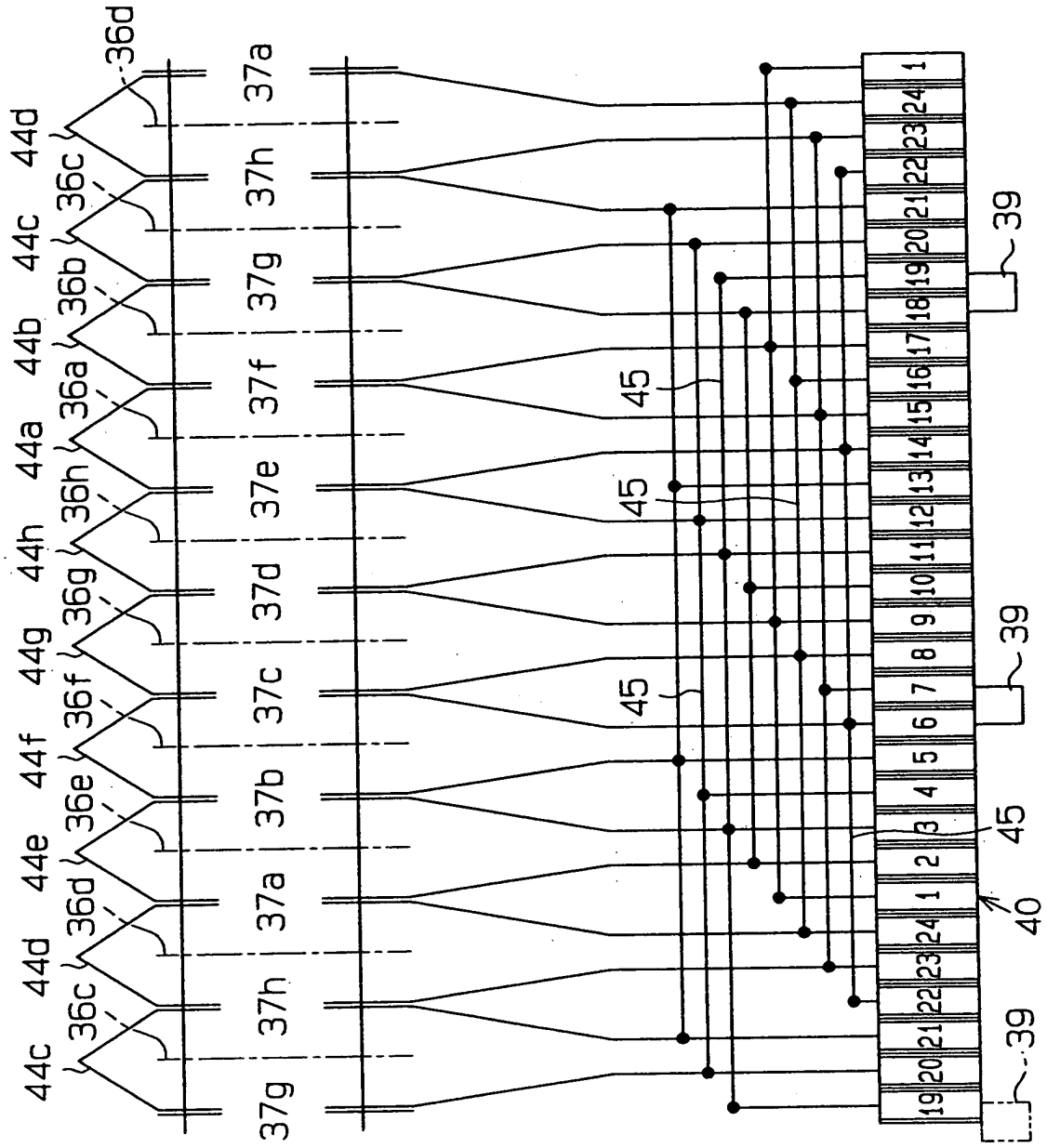


Fig. 38

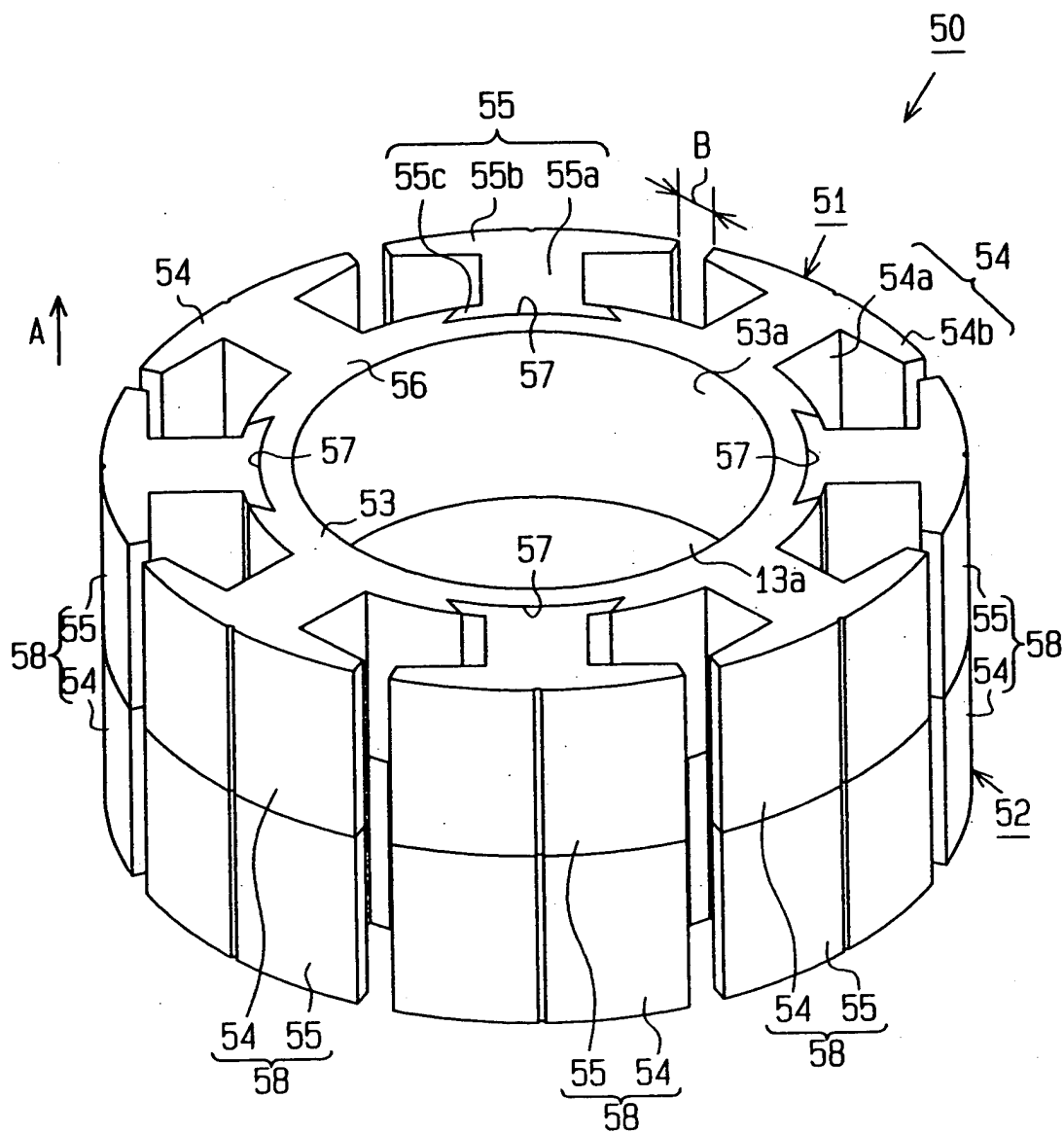


Fig. 39

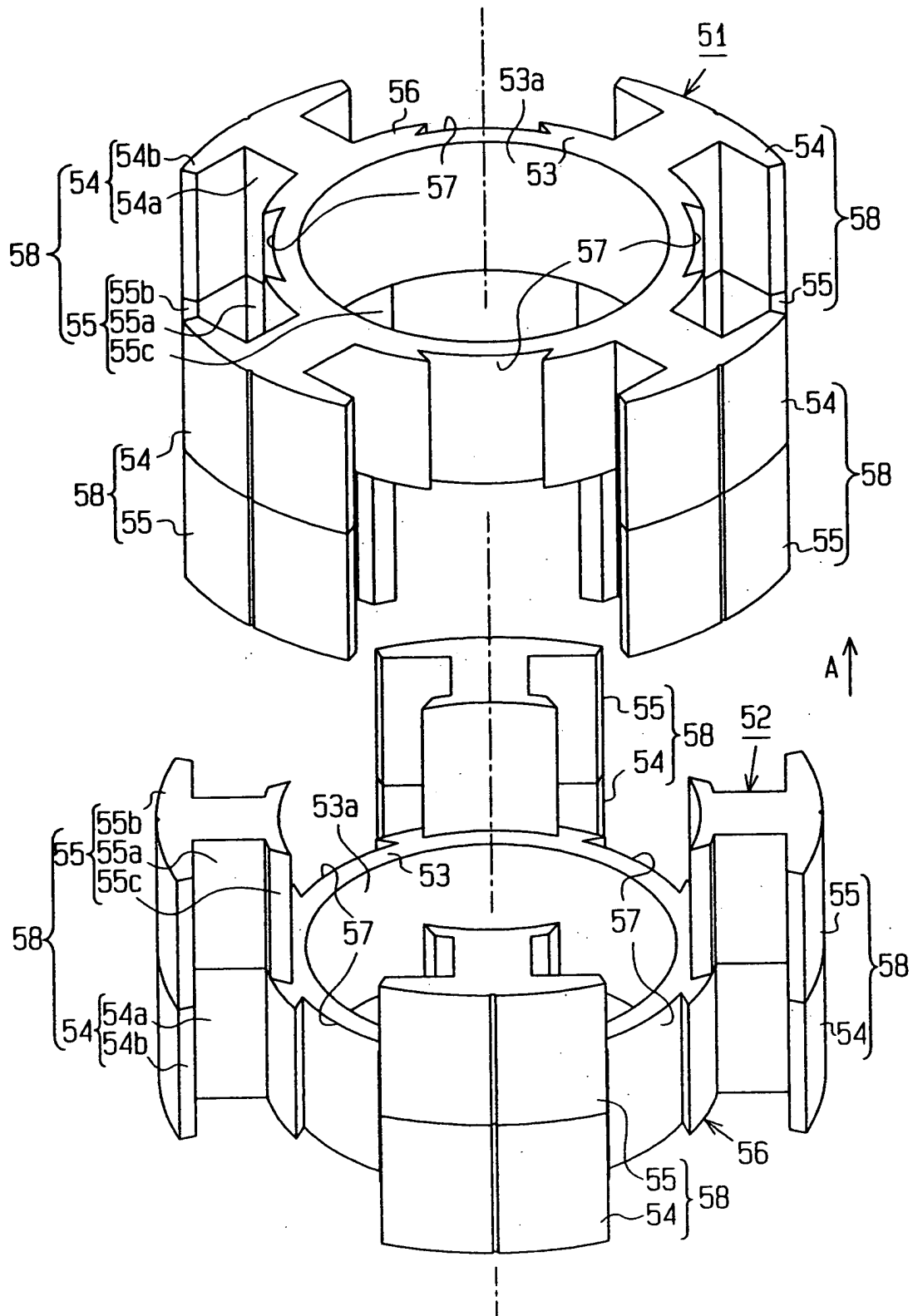


Fig. 40

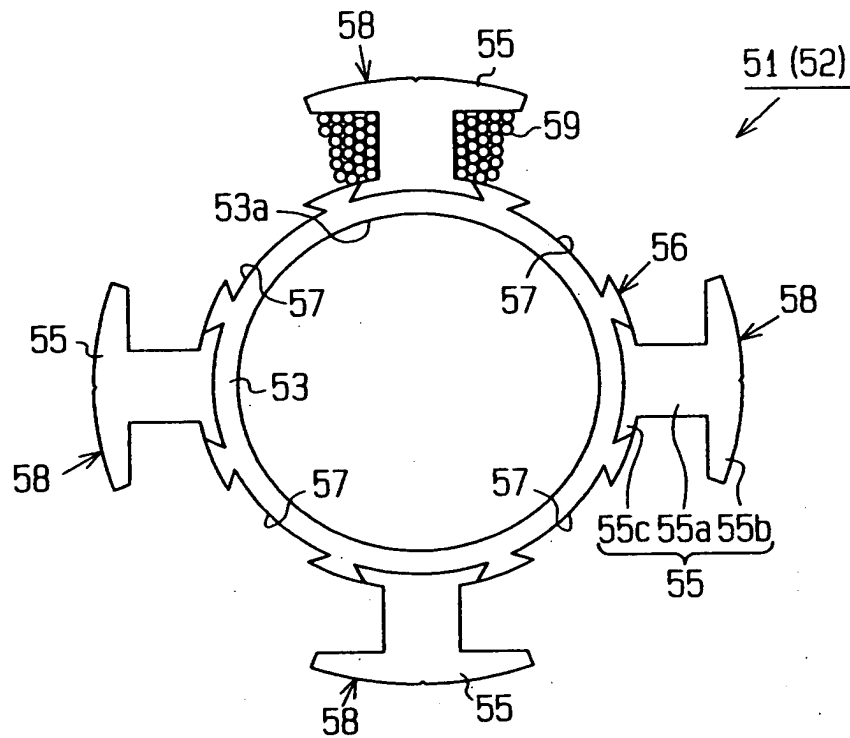


Fig. 41

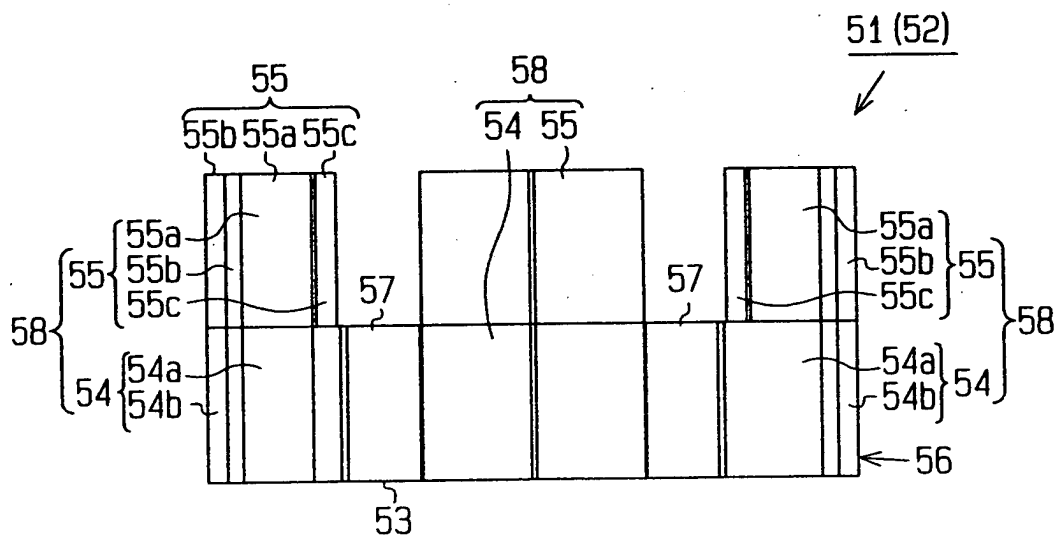


Fig. 42

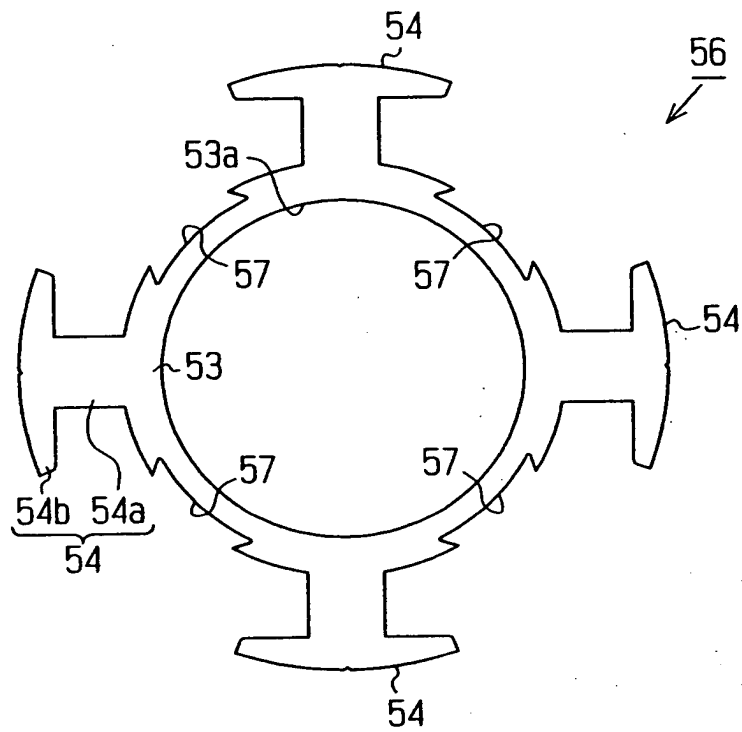
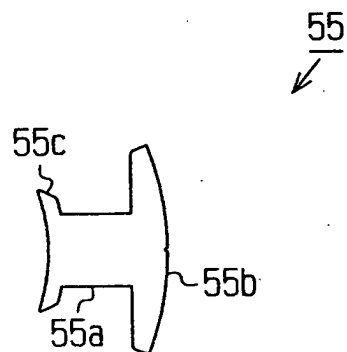


Fig. 43



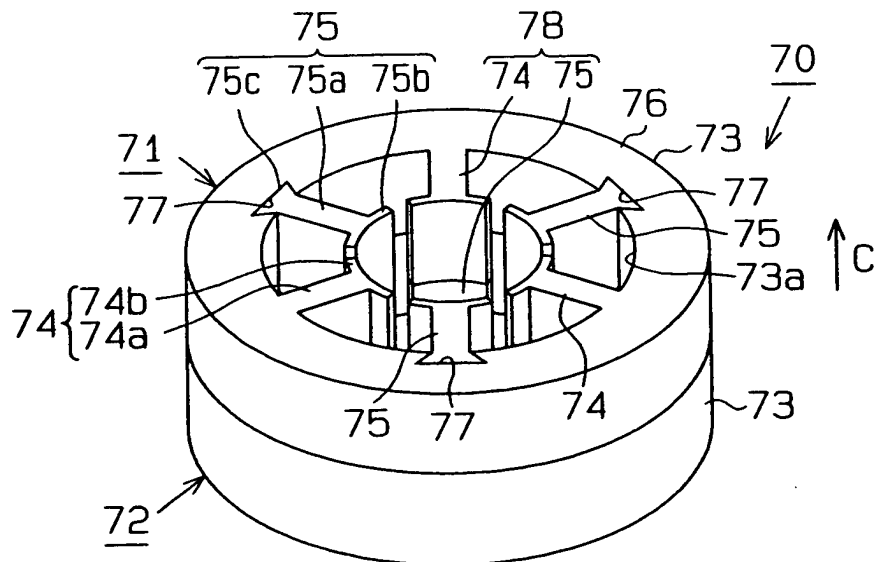
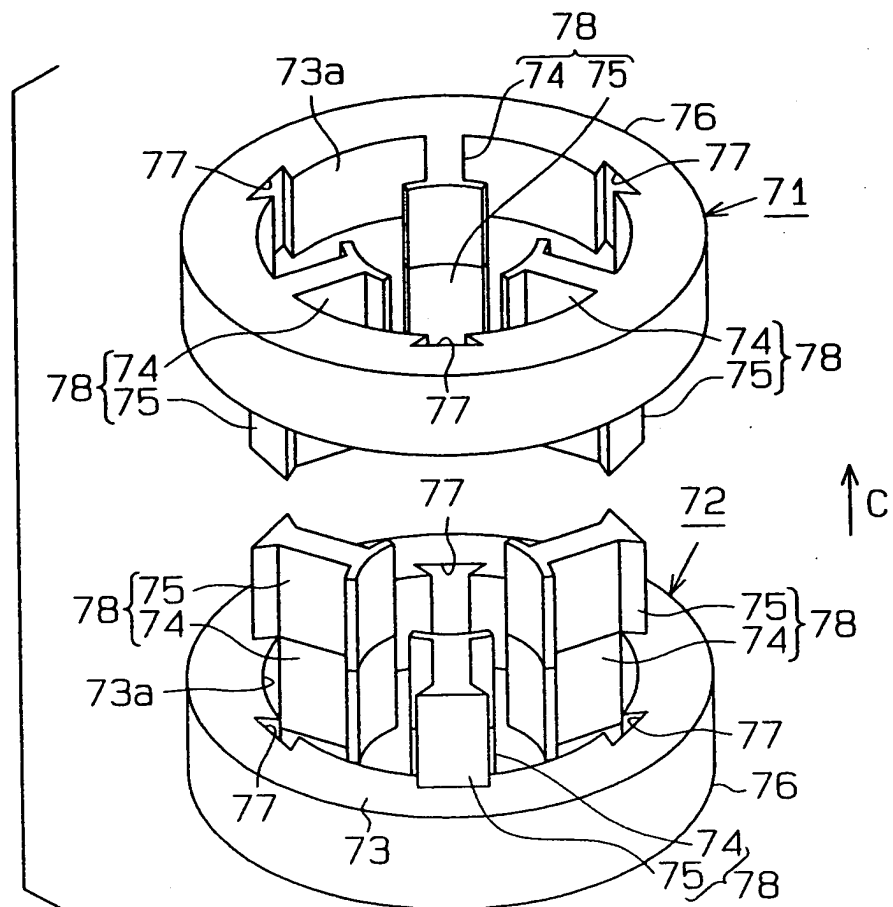


Fig. 45



100-443887-10

Fig. 46

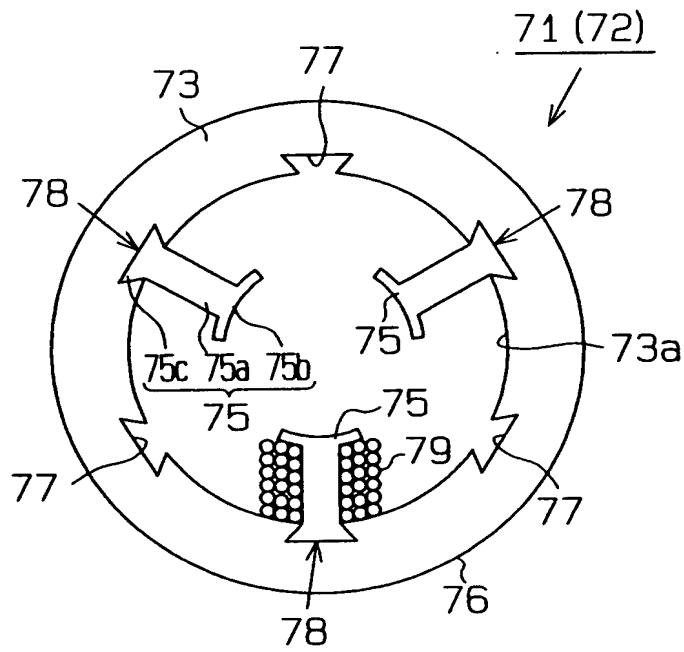


Fig. 47

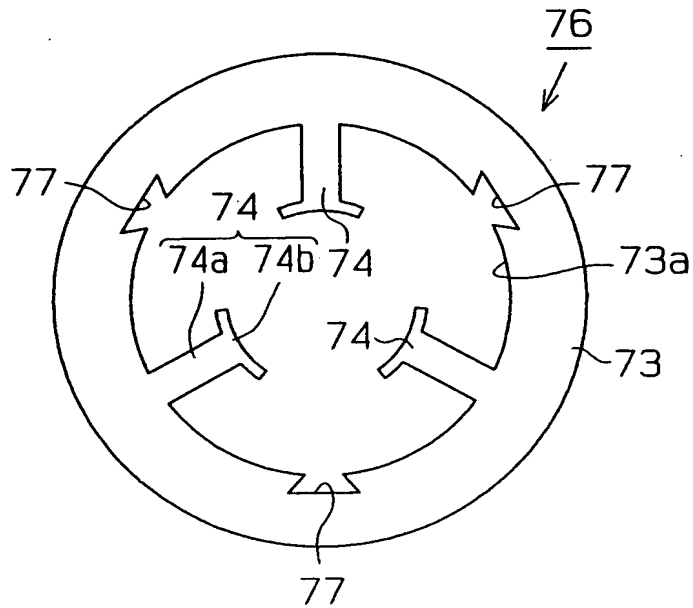


Fig. 48

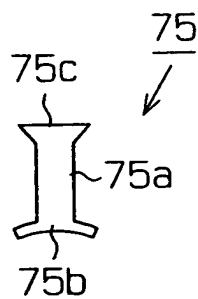
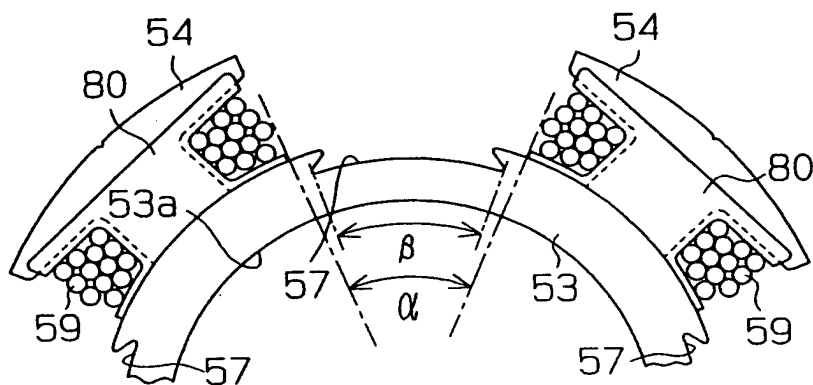
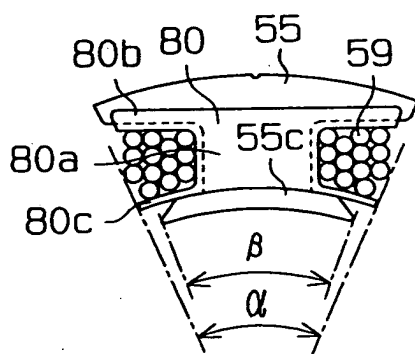


Fig. 49



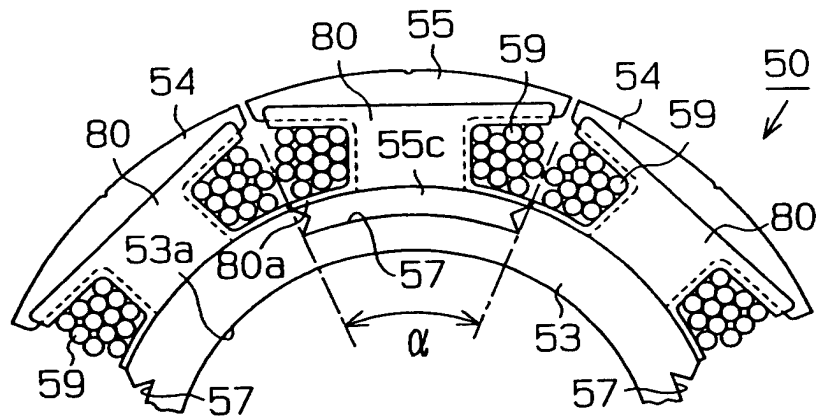
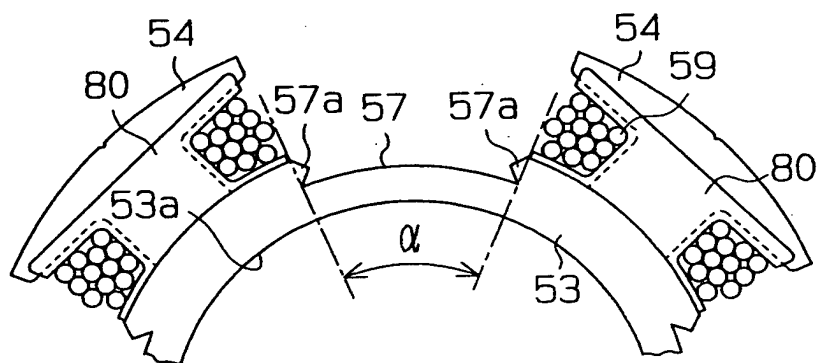
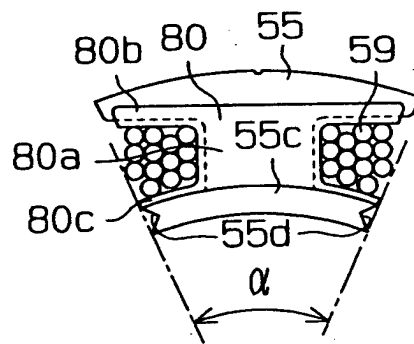


Fig. 51



100-443887-100

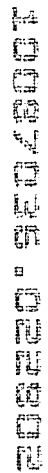


Fig. 53

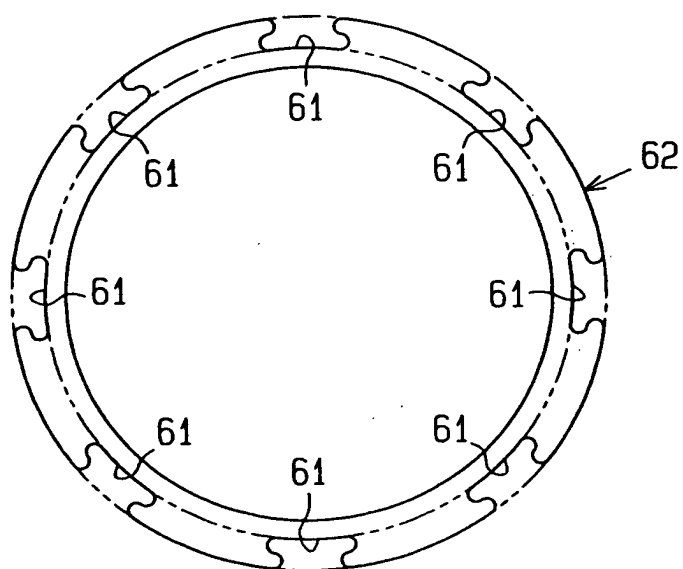


Fig. 54

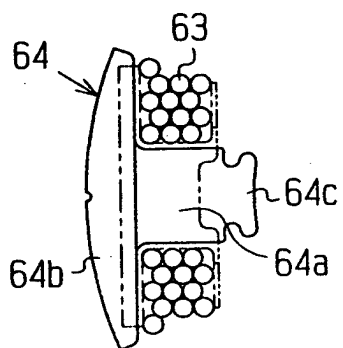


Fig. 55

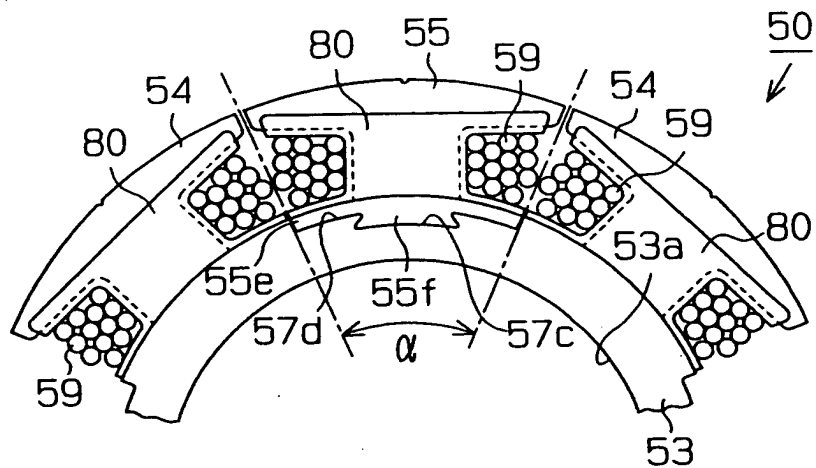


Fig. 56

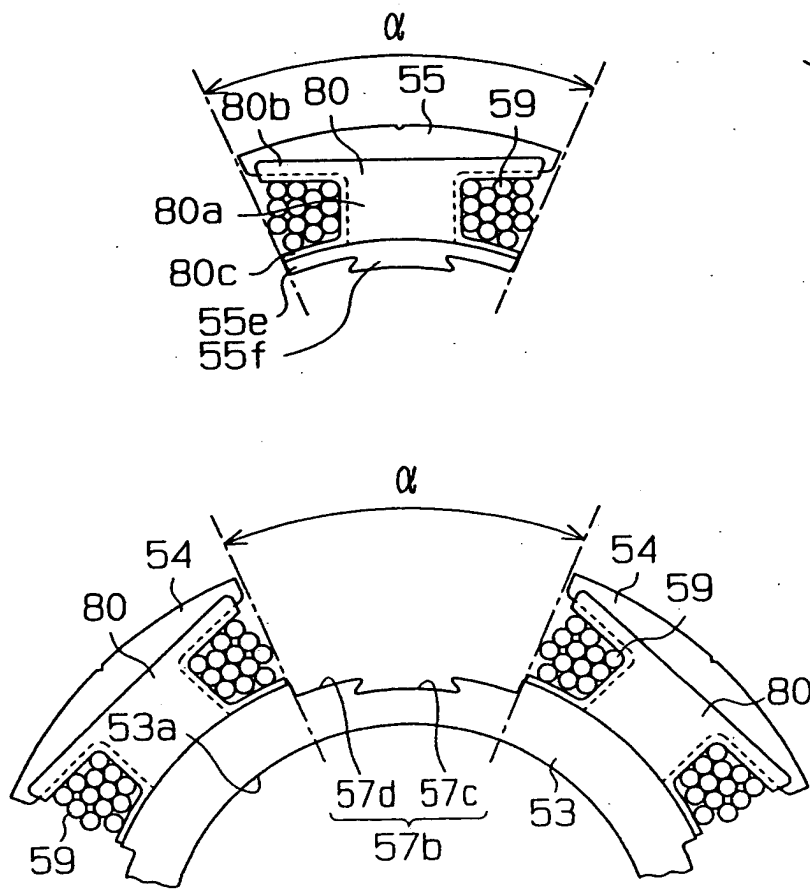


Fig. 57

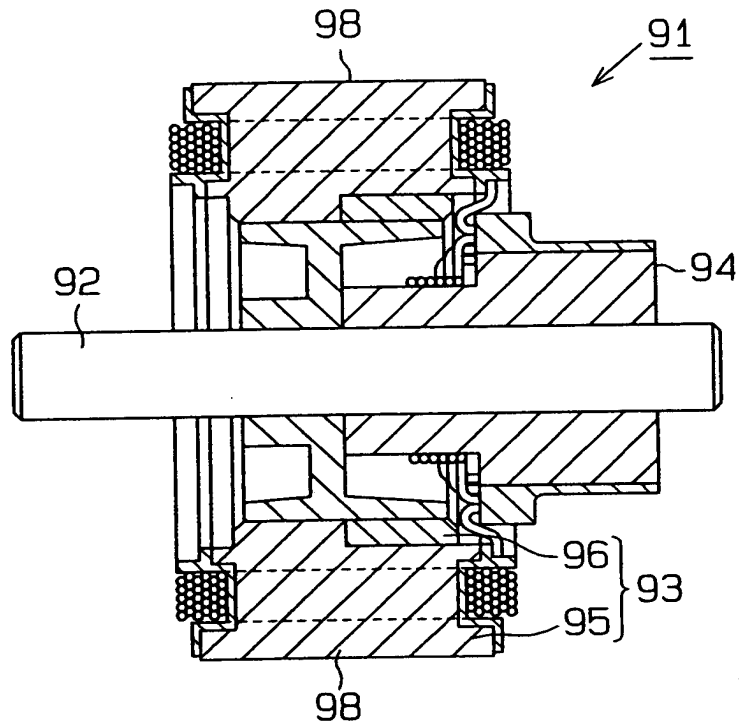
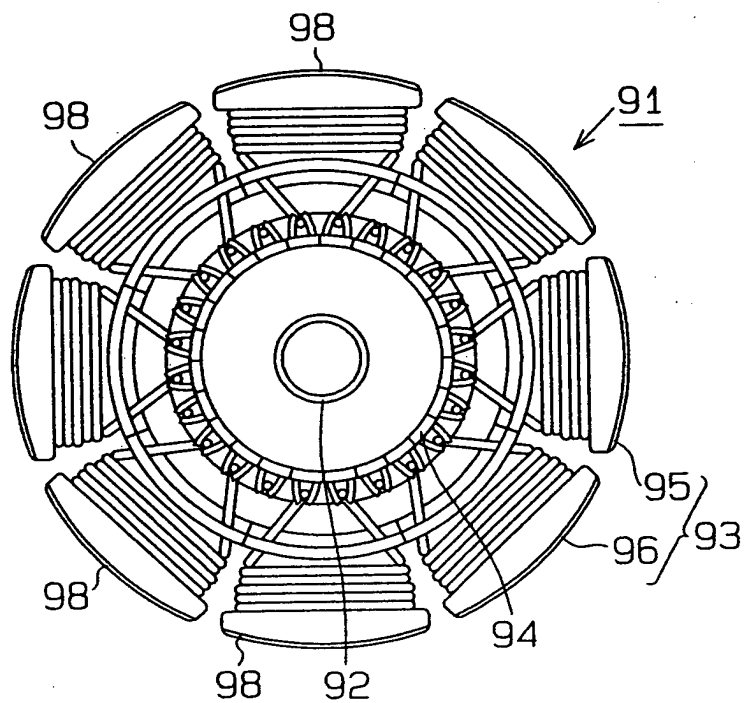


Fig. 58



100-44388-100

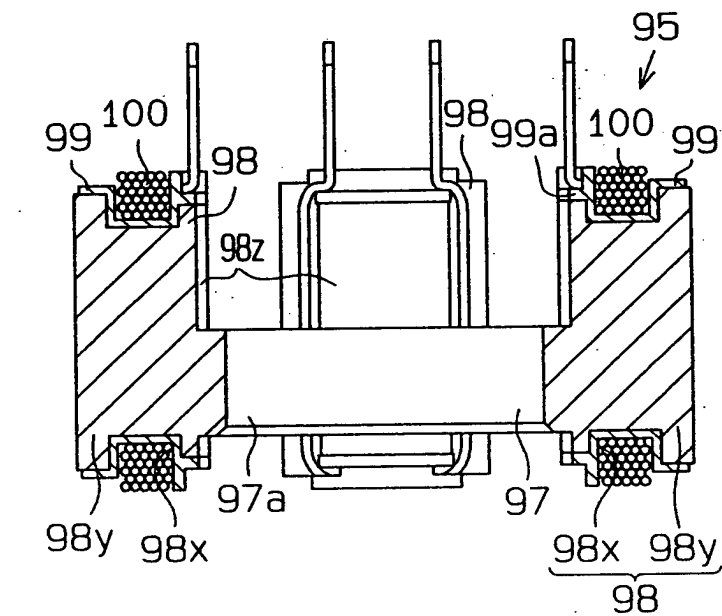


Fig. 60 (a)

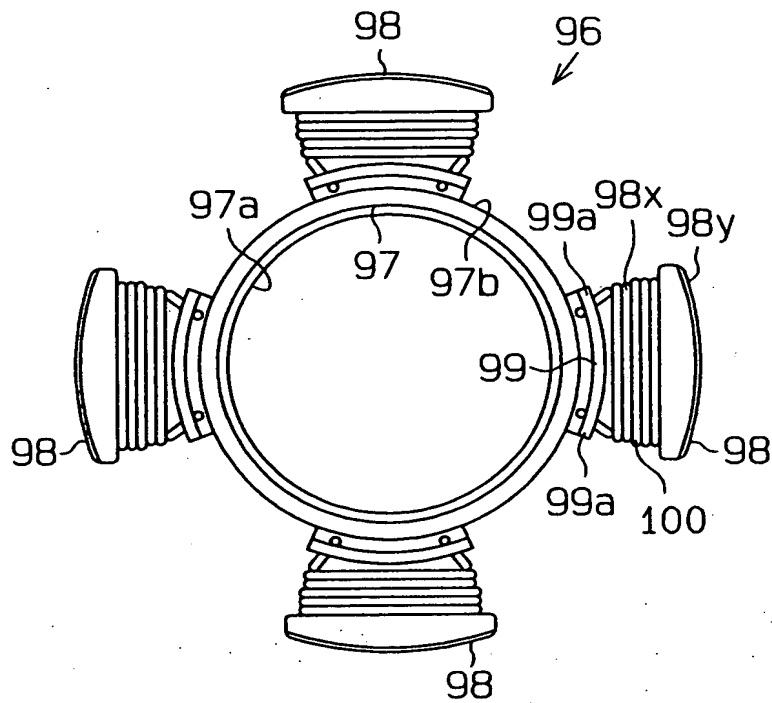


Fig. 60 (b)

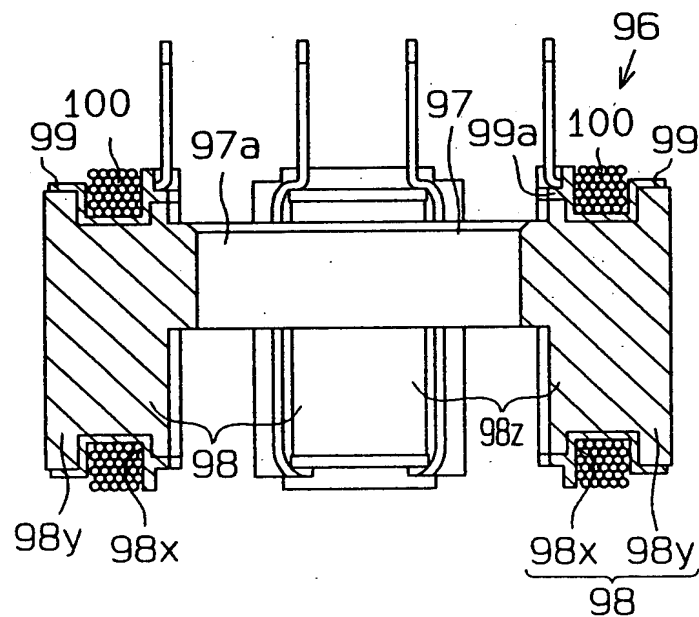


Fig.61 (a)

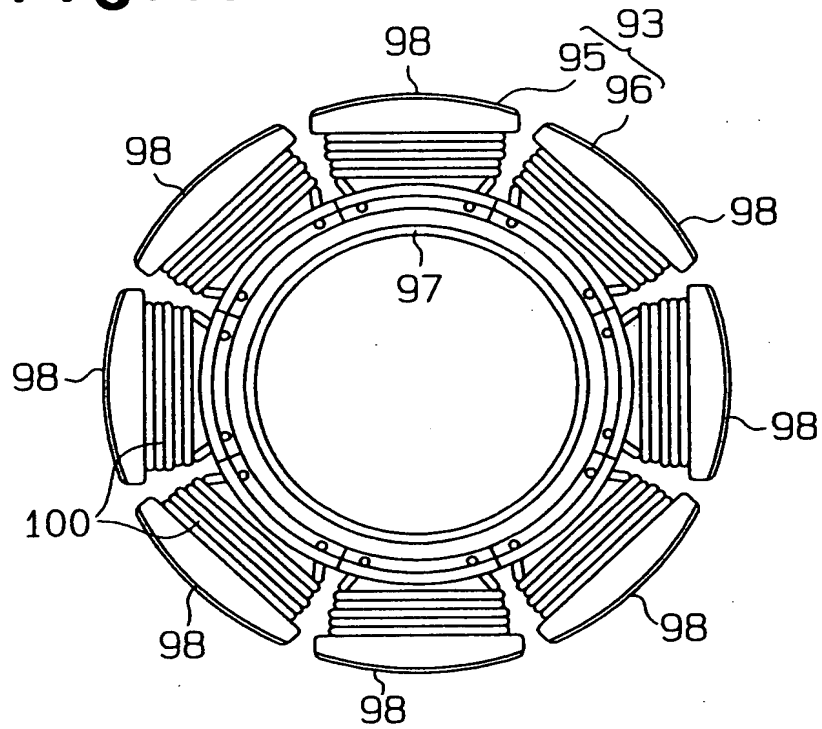
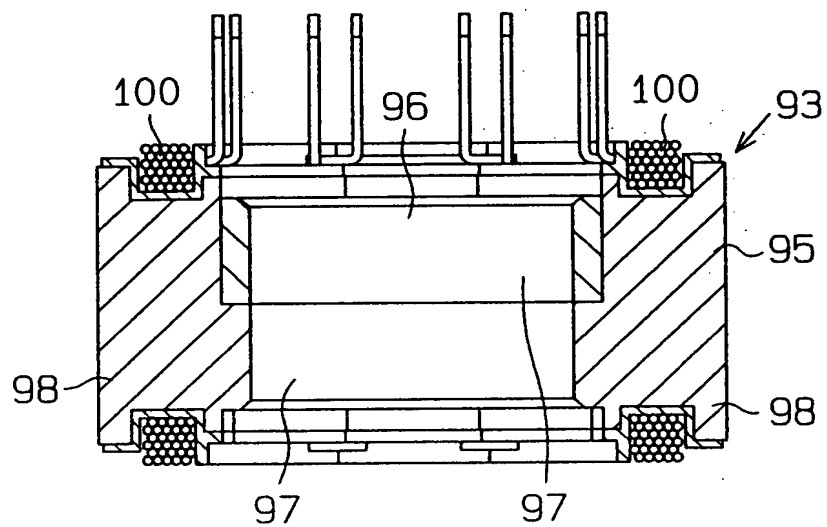
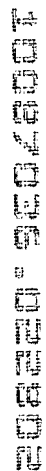


Fig.61 (b)



100-443887-100



100-443887-100

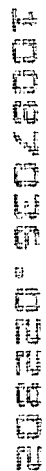




Fig. 65

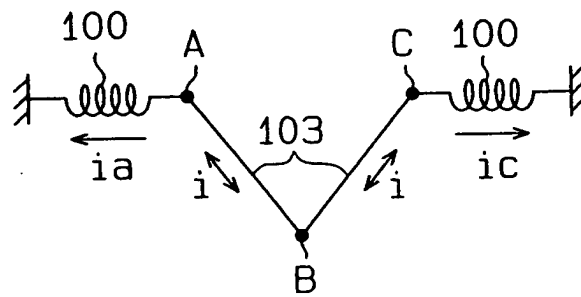


Fig. 66

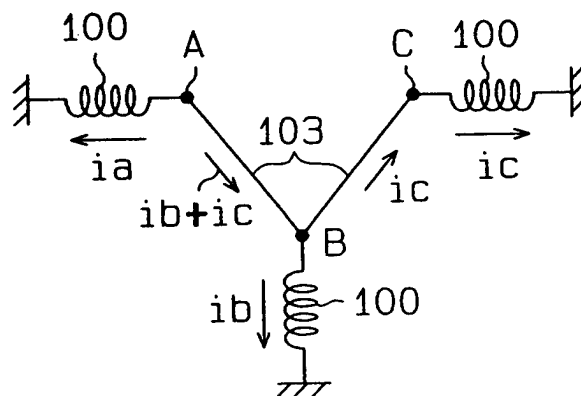


Fig.67(a) (Prior Art) Fig.67(d) (Prior Art)

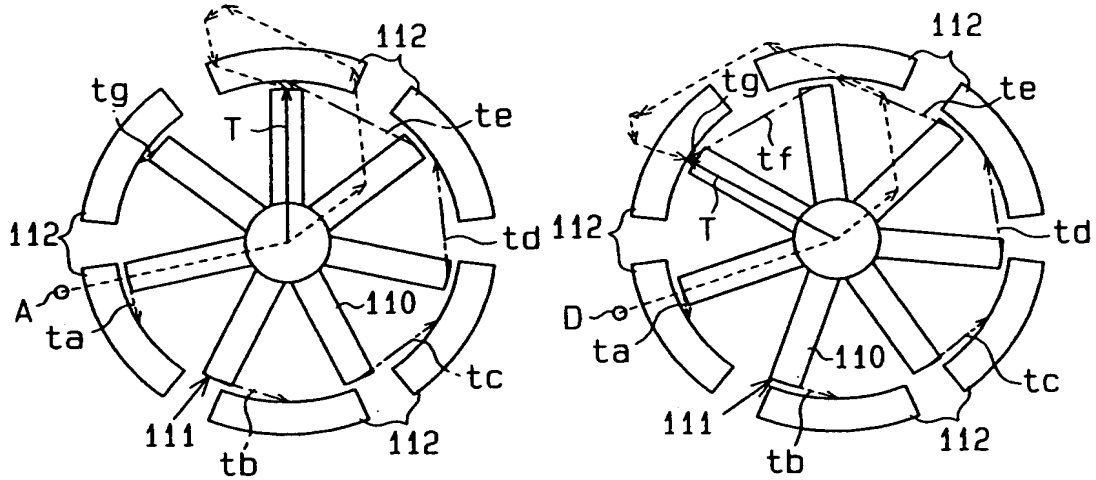


Fig.67(b) (Prior Art) Fig.67(e) (Prior Art)

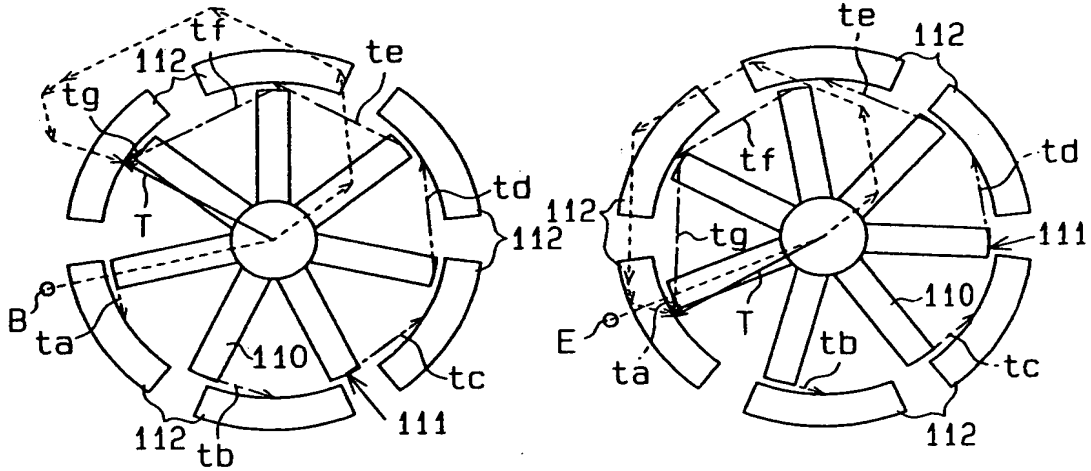
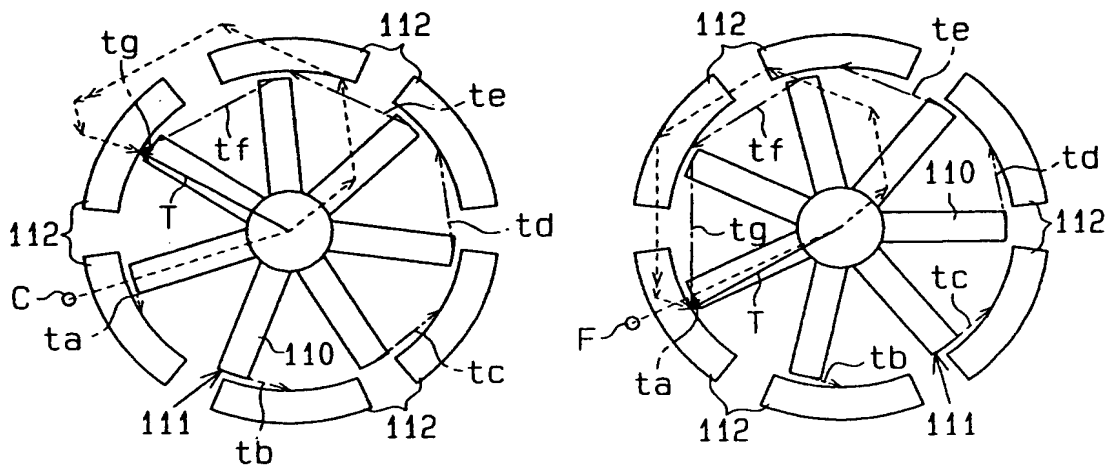
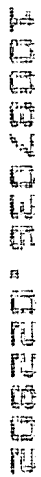


Fig.67(c) (Prior Art) Fig.67(f) (Prior Art)



THE UNIVERSITY OF CHICAGO



THE UNIVERSITY OF CHICAGO

